



# COMUNE DI POMARICO

## Provincia di Matera

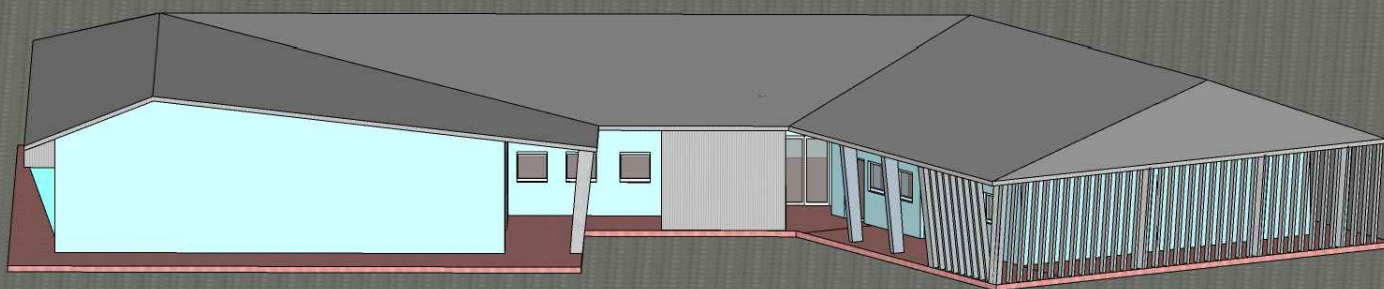


### *Intervento di nuova costruzione per sostituzione dell'edificio adibito a scuola dell'infanzia A. Falotico*

#### PROGETTO ESECUTIVO

Aggiornamento al Prezzario regionale Basilicata 2023

Finanziamento MIUR per la progettazione di interventi di messa in sicurezza di edifici scolastici - D.DDG n. 251 del 21 giugno 2019



#### PROGETTISTA:

Ing. PAOLO MANCINI

#### COLLABORATORI:

Ing. ANGELO PERRONE  
Ing. ANTONIO POPOLIZIO  
Ing. RAFFAELE CALABRESE  
Ing. ROBERTO GLIONNA

RESPONSABILE UNICO DEL PROCEDIMENTO: Ing. Pierpaolo NOBILE

| DATA        | ELABORATO            | PRELIM | DEFIN | ESEC | VAR |
|-------------|----------------------|--------|-------|------|-----|
| GIUGNO 2023 |                      |        |       |      |     |
|             | RELAZIONE DI CALCOLO |        |       |      |     |

R.03

## Sommario:

|   |    |
|---|----|
| Descrizione generale dell'opera                               | 3  |
| Normativa di riferimento                                      | 3  |
| Vita nominale, classi d'uso e periodo di riferimento          | 3  |
| Materiali impiegati e resistenze di calcolo                   | 4  |
| Terreno di fondazione   | 4  |
| Analisi dei carichi   | 5  |
| Valutazione dell'azione sismica                               | 7  |
| Spettri di risposta   | 7  |
| Elementi di fondazione  | 9  |
| Metodo di analisi e criteri di verifica                       | 9  |
| Percentuali Spostamento masse impalcati                       | 10 |
| Combinazioni del Sisma in X e Y e Verticale                   | 10 |
| Periodi di vibrazione e Masse modali                          | 10 |
| Azioni sulla struttura  | 11 |
| Scenario di calcolo   | 12 |
| Codice di calcolo impiegato                                   | 33 |
| Verifica degli elementi strutturali                           | 34 |
| Validazione del calcolo                                       | 35 |
| Taglianti di piano  | 36 |
| Informazioni dell'elaborazione                                | 37 |
| Risultati Analisi Dinamica - Statistiche matrice di rigidezza | 37 |

## Descrizione generale dell'opera

Il presente calcolo è relativo ad un edificio che sarà adibito a scuola dell'infanzia. L'apparato fondale sarà costituito da una platea in c.a. avente spessore 45 cm la cui area sarà di circa 700 mq. La struttura portante avrà un solo impalcato quello di copertura; essa sarà costituita da pilastri e travi di bordo in cemento armato, mentre le travi centrali saranno realizzate in legno lamellare. Il solaio di copertura avrà gli arcarecci in legno lamellare che reggeranno un tavolato spesso due centimetri con sovrastante coibentazione e lamiera ondulata. L'altezza dell'edificio varierà dai 3,3 m ai 4,9 m. Il porticato della scuola avrà un solaio latero-cementizio alto venti centimetri sito a quota 3,3 m.

## Normativa di riferimento

Nel seguente elenco sono riportate le norme di riferimento secondo le quali sono state condotte le fasi di calcolo e verifica degli elementi strutturali:

**Legge 5 novembre 1971 n. 1086** (G. U. 21 dicembre 1971 n. 321)

"Norme per la disciplina delle opere di conglomerato cementizio armato, normale e precompresso ed a struttura metallica".

**Legge 2 febbraio 1974 n. 64** (G. U. 21 marzo 1974 n. 76)

"Provvedimenti per le costruzioni con particolari prescrizioni per le zone sismiche".

**L.R. Basilicata 38/97**

Norme per l'esercizio delle funzioni regionali in materia di difesa del territorio dal rischio sismico.

**D.M. 17.01.2018 (Aggiornamento "Norme tecniche per le costruzioni")**

Nel seguito denominate NT (norme tecniche)

Nel caso in cui la progettazione coinvolga anche azioni di tipo geotecnico, le verifiche nei confronti degli stati limite ultimi strutturali (STR) e geotecnici (GEO) sono state condotte adottando l'Approccio Progettuale 2 previsto dalle NT.

## Vita nominale, classi d'uso e periodo di riferimento

La costruzione in oggetto è definita dalla seguente tipologia (p.to 2.4 delle NT):

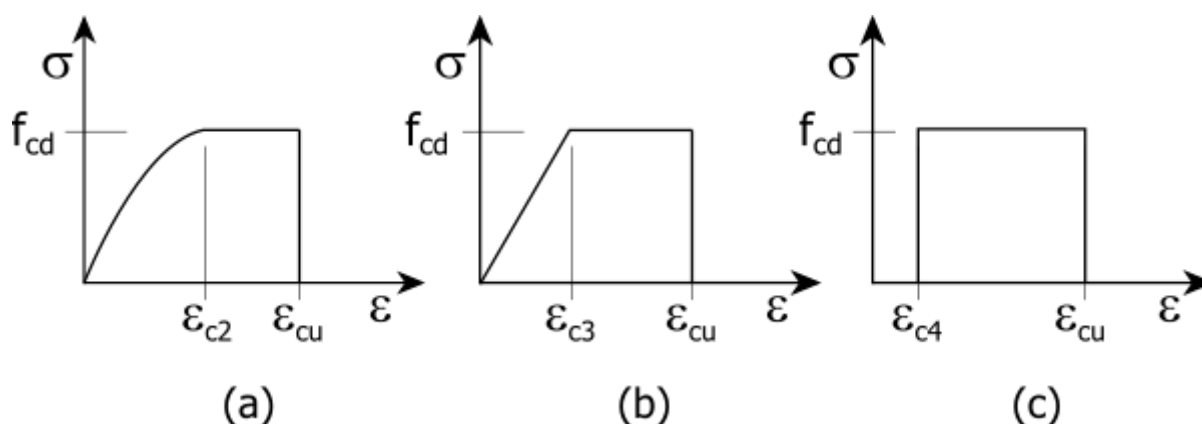
| <b>Vita della struttura</b>   |                          |
|---|--------------------------|
| Tipo  | Opere ordinarie (50-100) |
| Vita nominale VN [anni]   | 50.0                     |
| Classe d'uso  | III                      |
| Coefficiente d'uso CU   | 1.500                    |
| Periodo di riferimento VR [anni]                                    | 75.000                   |
| Probabilità di superamento PVR allo Stato limite di esercizio - SLD | 63.0%                    |
| Probabilità di superamento PVR allo Stato limite ultimo - SLV       | 10.0%                    |
| Periodo di ritorno TR SLD [anni]                                    | 75.4                     |
| Periodo di ritorno TR SLV [anni]                                    | 711.8                    |

Per maggiori dettagli riguardo l'azione sismica si veda la definizione degli spettri di risposta

## Materiali impiegati e resistenze di calcolo

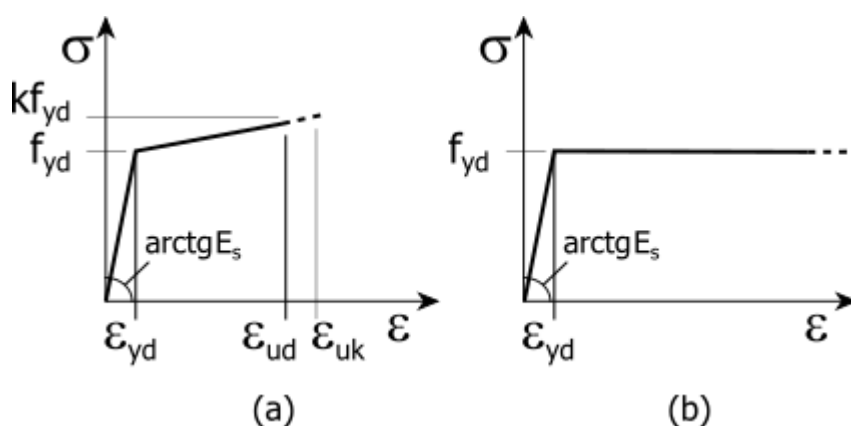
Per la realizzazione dell'opera in oggetto saranno impiegati i seguenti materiali, di cui si riportano nell'ordine le proprietà meccaniche adottate nel calcolo elastico e le resistenze di calcolo per le verifiche di sicurezza:

I diagrammi costitutivi del calcestruzzo e dell'acciaio per calcestruzzo sono stati adottati in conformità alle indicazioni riportate al punto 4.1.2.1.2 delle NT; in particolare per le verifiche delle sezioni in calcestruzzo armato è stato adottato il modello di calcestruzzo riportato in (a) della figura seguente:



Diagrammi di calcolo tensione/deformazione del calcestruzzo.

ed il modello di acciaio riportato in a) o b) della figura seguente:



Diagrammi di calcolo tensione/deformazione dell'acciaio per calcestruzzo.

La resistenza di calcolo è data da  $f_{yk} / \gamma_f$ . Il coefficiente di sicurezza è  $\gamma_f$ .

Tutti i materiali impiegati dovranno essere comunque verificati con opportune prove di laboratorio secondo le prescrizioni della vigente Normativa. Riguardo ai coefficienti di sicurezza parziali, alle deformazioni del calcestruzzo e dell'acciaio (modello incrudente) si faccia riferimento ai criteri di verifica nella sezione "Verifica Elementi Strutturali"

## Terreno di fondazione

Le fondazioni del fabbricato in oggetto sono costituite da una platea di cemento armata avente spessore 45 cm con sottostante magrone. Dalla Relazione Geologica redatta dal geologo dott. Donato Caldane risulta che nell'area in oggetto, si ha un terreno avente la seguente stratigrafia:

| N° | s   | G           | GSat. | Ø  | A  | OCR | c                  | cu                 | Eed                | nu  | Note     |
|----|-----|-------------|-------|----|----|-----|--------------------|--------------------|--------------------|-----|----------|
|    | cm  | kg/mc       | kg/mc | °  |    |     | kg/cm <sup>2</sup> | kg/cm <sup>2</sup> | kg/cm <sup>2</sup> |     |          |
| 1  | 100 | 1600        | 1900  | 20 | No | --  | 0.00               | 0.00               | 2E02               | 0.3 | Strato 1 |
| 2  | 700 | 19570<br>00 | 2000  | 24 | No | --  | 0.21               | 0.00               | 2E02               | 0.3 | Strato 2 |
| 3  | 400 | 2000        | 2000  | 35 | No | --  | 0.10               | 0.00               | 2E02               | 0.3 | Strato 2 |

N° = Numero strato, s = spessore, G = peso specifico, GSat. = peso specifico saturo, OCR = grado di sovraconsolidazione, A = Addensato, c = coesione, cu = coesione non drenata, Eed = modulo edometrico, nu = coefficiente di Poisson

Per la determinazione del carico limite del complesso terreno-fondazione, pertanto, si sono assunti i parametri fisico-meccanici precedentemente indicati. Per maggiori dettagli riguardo i parametri che caratterizzano il terreno si rimanda alla relazione geologica e a quella geotecnica.

## Analisi dei carichi

La valutazione dei carichi e dei sovraccarichi è stata effettuata in accordo con le disposizioni contenute nel **D.M. 17.01.2018 (Aggiornamento "Norme tecniche per le costruzioni")**

I carichi adottati sono i seguenti:

### Sovraccarico neve

|                     |              |
|---------------------|--------------|
| Provincia:          | MATERA       |
| Zona:               | 3            |
| Altitudine $a_s$ :  | 469 m s.l.m. |
| Esposizione :       | Normale      |
| Periodo di ritorno: | 50 anni      |

Il carico neve sulle coperture viene valutato con la seguente espressione:

$$q_s = \mu_i \cdot q_{sk} \cdot C_E \cdot C_t \text{ kg/mq}$$

dove:

|                             |  |
|-----------------------------|--|
| $\mu_i$                     | Coefficiente di forma della copertura; |
| $C_E = 1.0$                 | Coefficiente di esposizione;           |
| $C_t = 1.0$                 | Coefficiente termico;                  |
| $q_{sk} = 99 \text{ kg/mq}$ | Carico neve al suolo.                  |

Nel caso in esame (copertura a due falde), con:

$$\alpha_1 = 25.00^\circ$$

$$\alpha_2 = 10.00^\circ$$

il coefficiente di forma vale:

#### Caso I

$$\mu_1(\alpha_1) = 0.80 \quad \Rightarrow \quad q_s = 79 \text{ kg/mq}$$

$$\mu_1(\alpha_2) = 0.80 \quad \Rightarrow \quad q_s = 79 \text{ kg/mq}$$

in caso di neve non accumulata, oppure, in caso di neve accumulata, si assume la più gravosa tra:

#### Caso II

$$0.5 \cdot \mu_1(\alpha_1) = 0.40 \quad \Rightarrow \quad q_s = 40 \text{ kg/mq}$$

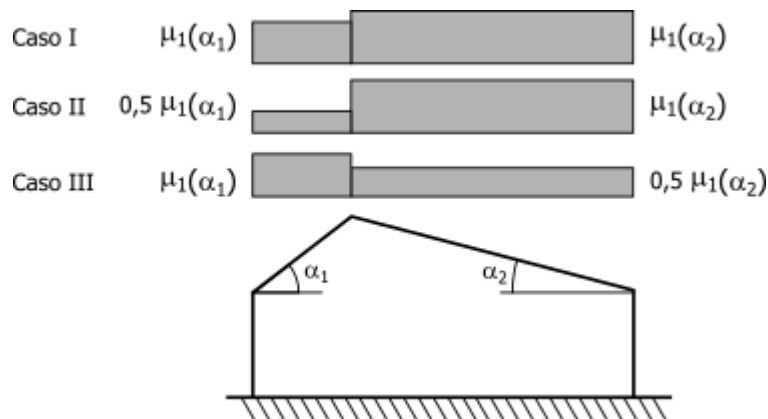
$$\mu_1(\alpha_2) = 0.80 \quad \Rightarrow \quad q_s = 79 \text{ kg/mq}$$

e

#### Caso III

$$\mu_1(\alpha_1) = 0.80 \quad \Rightarrow \quad q_s = 79 \text{ kg/mq}$$

$$0.5 \cdot \mu_1(\alpha_2) = 0.40 \quad \Rightarrow \quad q_s = 40 \text{ kg/mq}$$

**Sovraccarico vento**

| Zona | $V_{b,0}$ (m/s) | $a_0$ (m) | $K_s$ |
|------|-----------------|-----------|-------|
| 3    | 27              | 500       | 0.37  |

| Categoria di esposizione | $K_r$ | $z_0$ (m) | $z_{min}$ (m) |
|--------------------------|-------|-----------|---------------|
| 5                        | 0.23  | 0.70      | 12            |

Altitudine:  $a_s = 469$  m s.l.m.

Distanza dalla costa: terra - oltre 30 Km dalla costa

Classe di rugosità terreno: A

Altezza manufatto:  $h = 5.50$  m

Periodo di ritorno:  $T_R = 50.0$  anni  $\Rightarrow$   
 $C_R = 0.75 \{1 - 0.2 \ln[-\ln(1 - 1/T_R)]\}^{0.5} = 1.00$

Velocità di riferimento del vento:  $V_b = c_a \cdot V_{b,0}$  con:  
 $c_a = 1$  per  $a_s \leq a_0$   
 $c_a = 1 + K_s \cdot (a_s/a_0 - 1)$  per  $a_s > a_0$

$$V_b = 27.000 \text{ m/s}$$

$$V_b(T_R) = C_R V_b = 27.020 \text{ m/s}$$

Coefficiente dinamico:  $C_d = 1.00$

Coefficiente di forma:  $C_p = 0.80$

Coefficiente di attrito:  $C_f = 0.02$

Coefficiente di topografia:  $C_t = 1.00$

Coefficiente di esposizione:  $C_e(z) = K_r^2 C_t \ln(z/z_0) [7 + C_t \ln(z/z_0)]$  per  $z \geq z_{min}$   
 $C_e(z) = C_e(z_{min})$  per  $z < z_{min}$

$$C_e(z) = 1.48$$

Le azioni del vento si traducono in pressioni (positive) e depressioni (negative) agenti normalmente alla superficie degli elementi che compongono la costruzione. La pressione agente su un singolo elemento è data dall'espressione:

$$p = q_b C_e C_p C_d = 540.03 \text{ Pa}$$

dove:

$$q_b = 1/2 \rho v_b^2 \quad \text{e' la pressione cinetica di riferimento;}$$

$$\rho = 1,25 \text{ kg/m}^3 \quad \text{e' la densita' dell'aria}$$

L'azione tangente per unità di superficie parallela alla direzione del vento è:

$$p_f = q_b C_e C_f = 13.50 \text{ Pa}$$

I carichi relativi ai pesi propri sono valutati in automatico in funzione della geometria degli elementi e del loro peso specifico. I tamponamenti vengono valutati per metro lineare di trave su cui insistono; maggiori dettagli a essi relativi sono riportati nel tabulato di calcolo, alla sezione dei carichi relativi alle aste, nodi e shell.

## Valutazione dell'azione sismica

L'azione sismica è stata valutata in conformità alle indicazioni riportate al capitolo 3.2 delle NT. La valutazione degli spettri di risposta per un dato Stato Limite avviene attraverso le seguenti fasi:

- Definizione della Vita Nominale e della Classe d'Uso della struttura, in base alle quali si determina il Periodo di Riferimento dell'azione sismica.
- Determinazione, attraverso latitudine e longitudine, dei parametri sismici di base  $a_g$ ,  $F_o$  e  $T_c^*$  per lo Stato Limite di interesse; l'individuazione è stata effettuata interpolando i dati relativi ai 4 punti più vicini al punto di riferimento dell'edificio, secondo quanto disposto dall'allegato alle NTC "Pericolosità Sismica", dove:
  - $a_g$ : accelerazione orizzontale massima al sito;
  - $F_o$ : valore massimo del fattore di amplificazione dello spettro in accelerazione orizzontale;
  - $T_c^*$ : periodo di inizio del tratto a velocità costante dello spettro in accelerazione orizzontale.
- Determinazione dei coefficienti di amplificazione stratigrafica e topografica.
- Calcolo del periodo  $T_c$  corrispondente all'inizio del tratto a velocità costante dello Spettro.

I dati così calcolati sono stati utilizzati per determinare gli Spettri di Progetto nelle verifiche agli Stati Limite considerati, per ogni direzione dell'azione sismica.

Oltre alla determinazione dei parametri sismici del sito si è considerata la tipologia di terreno, la posizione topografica e la tipologia strutturale (classe di duttilità, regolarità, ecc..) che ha condotto alla determinazione dei seguenti spettri di risposta:

## Spettri di risposta

Spettro: **SpettroNT\_ 2018(q=1.5)**

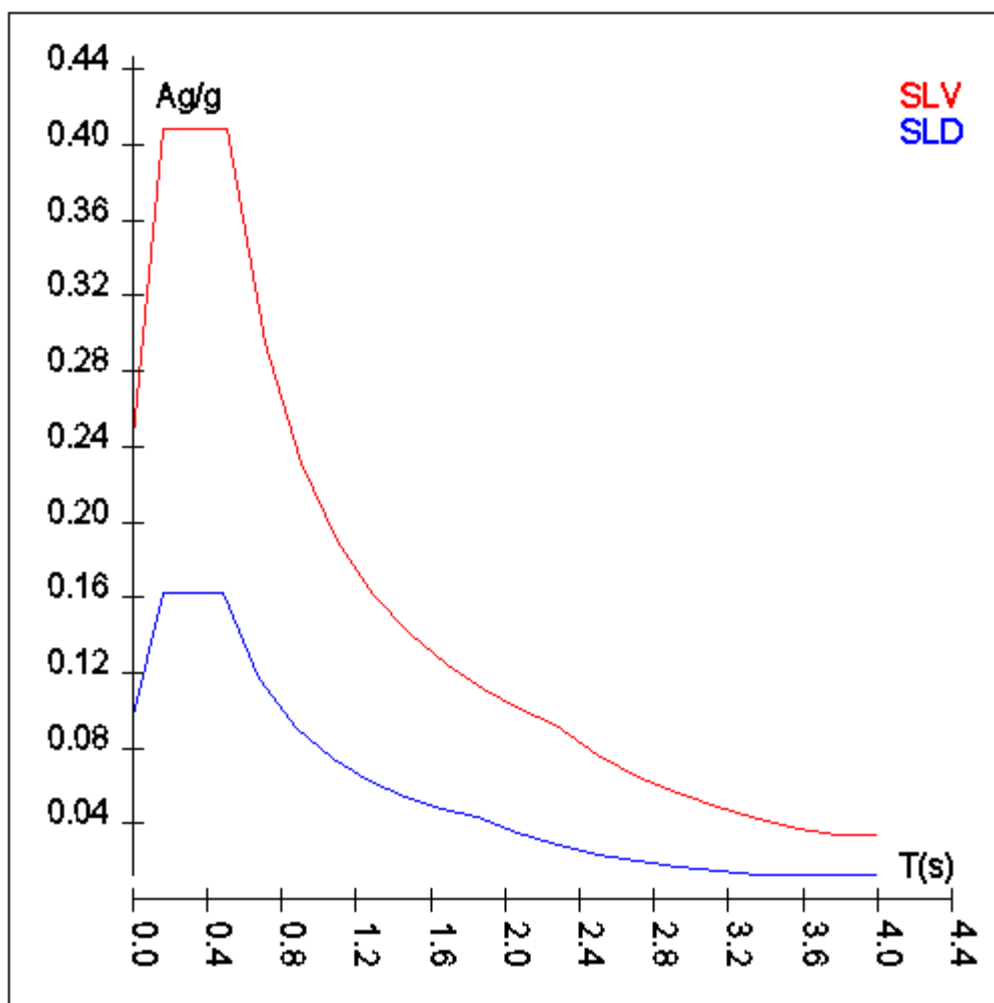
Il calcolo degli spettri e del fattore di comportamento sono stati calcolati per la seguente tipologia di terreno e struttura.

| Vita della struttura  |                          |
|---|--------------------------|
| Tipo  | Opere ordinarie (50-100) |
| Vita nominale VN [anni]   | 50.0                     |
| Classe d'uso  | III                      |
| Coefficiente d'uso CU   | 1.500                    |
| Periodo di riferimento VR [anni]                                    | 75.000                   |
| Probabilità di superamento PVR allo Stato limite di esercizio - SLD | 63.0%                    |
| Probabilità di superamento PVR allo Stato limite ultimo - SLV       | 10.0%                    |
| Periodo di ritorno TR SLD [anni]                                    | 75.4                     |
| Periodo di ritorno TR SLV [anni]                                    | 711.8                    |
| Parametri del sito  |                          |
| Comune  | Pomarico - (MT)          |
| Longitudine   | 16.549                   |
| Latitudine  | 40.517                   |
| Id reticolo del sito  | 34345-34567-34568-34346  |

| Valori di riferimento del sito   |                |
|--|----------------|
| Accelerazione orizzontale massima del sito $A_g/g$ - SLD (TR=75.4)                             | 0.0644         |
| Fattore di amplificazione dello spettro $F_o$ - SLD (TR=75.4)                                  | 2.5273         |
| Periodo di riferimento di inizio del tratto a velocità costante $T^*C$ [s] - SLD (TR=75.4)     | 0.321          |
| Accelerazione orizzontale massima del sito $A_g/g$ - SLV (TR=711.8)                            | 0.1691         |
| Fattore di amplificazione dello spettro $F_o$ - SLV (TR=711.8)                                 | 2.5032         |
| Periodo di riferimento di inizio del tratto a velocità costante $T^*C$ [s] - SLV (TR=711.8)    | 0.343          |
| Coefficiente Amplificazione Topografica $S_t$  | 1.000          |
| Categoria terreno  | C              |
| Stato limite SLV   |                |
| Coefficiente di amplificazione stratigrafica $S_s$   | 1.45           |
| Periodo di inizio del tratto ad accelerazione costante dello spettro $T_B$ [s]                 | 0.17           |
| Periodo di inizio del tratto a velocità costante dello spettro $T_C$ [s]                       | 0.51           |
| Periodo di inizio del tratto a spostamento costante dello spettro $T_D$ [s]                    | 2.28           |
| Stato limite SLD   |                |
| Coefficiente di amplificazione stratigrafica $S_s$   | 1.50           |
| Periodo di inizio del tratto ad accelerazione costante dello spettro $T_B$ [s]                 | 0.16           |
| Periodo di inizio del tratto a velocità costante dello spettro $T_C$ [s]                       | 0.49           |
| Periodo di inizio del tratto a spostamento costante dello spettro $T_D$ [s]                    | 1.86           |
| Fattore di comportamento (SLV)   |                |
| Classe duttilità   | B              |
| Tipo struttura   | Cemento armato |
| Fattore di riduzione per regolarità in altezza $K_r$ - Struttura non regolare                  | 0.800000       |
| Fattore di riduzione per rottura pareti $K_w$  | 1.000          |
| Regolare in pianta   | SI             |
| Coefficiente moltiplicativo $C_e$ - struttura a telaio, a pareti accoppiate e miste            | 3.000          |
| $A_u/A_1$ - Telaio 1 piano   | 1.100          |
| Fattore di comportamento $q = K_w \cdot K_r \cdot q_0 = K_w \cdot K_r \cdot C_e \cdot A_u/A_1$ | 1.500          |
| Fattore di comportamento (SLD)   |                |
| $q$  | 1.500          |

| T SLV [s] | Sd SLV[a/g] | T SLD [s] | Sd SLD[a/g] |
|-----------|-------------|-----------|-------------|
| 0.00000   | 0.24457     | 0.00000   | 0.09658     |
| 0.17090   | 0.40814     | 0.16336   | 0.16273     |
| 0.51271   | 0.40814     | 0.49009   | 0.16273     |
| 0.70869   | 0.29527     | 0.68544   | 0.11635     |
| 0.90467   | 0.23131     | 0.88079   | 0.09055     |
| 1.10066   | 0.19012     | 1.07614   | 0.07411     |
| 1.29664   | 0.16138     | 1.27150   | 0.06272     |
| 1.49262   | 0.14019     | 1.46685   | 0.05437     |
| 1.68861   | 0.12392     | 1.66220   | 0.04798     |
| 1.88459   | 0.11104     | 1.85755   | 0.04293     |
| 2.08058   | 0.10058     | 2.07180   | 0.03451     |
| 2.27656   | 0.09192     | 2.28604   | 0.02835     |
| 2.49199   | 0.07671     | 2.50029   | 0.02370     |
| 2.70742   | 0.06499     | 2.71453   | 0.02010     |
| 2.92285   | 0.05576     | 2.92878   | 0.01727     |
| 3.13828   | 0.04837     | 3.14302   | 0.01500     |
| 3.35371   | 0.04236     | 3.35727   | 0.01314     |
| 3.56914   | 0.03740     | 3.57151   | 0.01288     |
| 3.78457   | 0.03383     | 3.78576   | 0.01288     |
| 4.00000   | 0.03383     | 4.00000   | 0.01288     |





## Elementi di fondazione

Il calcolo della struttura di fondazione è condotto considerando le azioni che la struttura sovrastante le trasmette amplificate per un  $\gamma_{Rd}$  pari a 1,1 in CD "B" e 1,3 in CD "A", e comunque non maggiori di quelle derivanti da una analisi elastica della struttura in elevazione eseguita con un fattore di comportamento per struttura non dissipativa ( $1 < q < 1.5$ ) e non maggiori delle resistenze degli elementi sovrastanti la fondazione. Le precedenti limitazioni comprendono anche il caso di struttura calcolata con spettro elastico o con fattore di comportamento  $q$  relativo a struttura non dissipativa.

## Metodo di analisi e criteri di verifica

Il calcolo delle azioni sismiche è stato eseguito in analisi dinamica modale, considerando il comportamento della struttura in regime elastico lineare. Le masse sono applicate nei nodi del modello. Tali masse sono ottenute considerando le reazioni vincolari di incastro perfetto che si ottengono per effetto dei carichi agenti sulle membrature che collegano i nodi. La risposta massima di una generica caratteristica  $E$ , conseguente alla sovrapposizione dei modi, è valutata con la tecnica della combinazione probabilistica definita CQC (Complete Quadratic Combination - Combinazione Quadratica Completa):

$$E = \sqrt{\sum_{i,j=1,n} \rho_{ij} \cdot E_i \cdot E_j}$$

con:

$$\rho_{ij} = \frac{8\xi^2 \cdot (1 + \beta_{ij}) \cdot \beta_{ij}^{\frac{3}{2}}}{(1 - \beta_{ij}^2)^2 + 4\xi^2 \cdot \beta_{ij} \cdot (1 + \beta_{ij}^2)} \quad \beta_{ij} = \frac{\omega_i}{\omega_j}$$

dove:

- $n$  è il numero di modi di vibrazione considerati;  
 $\xi$  è il coefficiente di smorzamento viscoso equivalente espresso in percentuale;  
 $\beta_{ij}$  è il rapporto tra le frequenze di ciascuna coppia i-j di modi di vibrazione.

Le sollecitazioni derivanti da tali azioni sono state calcolate considerando varie posizioni del baricentro delle masse e composte secondo diverse combinazioni di posizioni prestabilite, come riportato in seguito; il risultato di tali combinazioni, successivamente, è stato composto con quello derivante dai carichi non sismici, secondo le varie combinazioni di carico probabilistiche.

Per tener conto dell'aleatorietà della posizione del baricentro delle masse, per ogni impalcato si è considerato uno spostamento del centro di massa dalla sua posizione originaria di una quantità pari a una percentuale della dimensione della struttura nella direzione considerata. Le azioni risultanti dai calcoli per le varie posizioni delle masse, in fase di verifica vengono combinate al fine di ottenere le azioni più sfavorevoli; di seguito vengono riportate sia le posizioni che le combinazioni delle masse. Le due tabelle vanno lette nel seguente modo:

- la prima indica la percentuale della dimensione della struttura secondo cui viene spostato il baricentro ad ogni impalcato; lo spostamento è assegnato nelle due direzioni ortogonali secondo cui agisce il sisma e per ognuna di tali posizioni è eseguito un calcolo modale della struttura;
- la seconda tabella è usata in fase di verifica per la valutazione dell'azione sismica: l'effetto del sisma in una direzione è combinato con quello ortogonale di un'altra posizione con i fattori specificati nelle due colonne.

## Percentuali Spostamento masse impalcati

| Posizione | % Spostamento direzione X | % Spostamento direzione Y |
|-----------|---------------------------|---------------------------|
| 1         | 5                         | 5                         |

## Combinazioni del Sisma in X e Y e Verticale

| Comb. | Pos. SismaX | Pos. SismaY | Fx | Fy | Fz |
|-------|-------------|-------------|----|----|----|
| 1     | 1           | 1           | 1  | 0  | 0  |
| 2     | 1           | 1           | 0  | 1  | 0  |

- Comb. Numero di combinazione dei sismi  
 Pos. SismaX Posizione in cui viene scelto il sisma in direzione X  
 Pos. SismaY Posizione in cui viene scelto il sisma in direzione Y  
 Fx Fattore con cui il sisma X partecipa  
 Fy Fattore con cui il sisma Y partecipa  
 Fz Fattore con cui il sisma Verticale partecipa (quando richiesto)

Ogni combinazione genera al massimo 8 sotto-combinazioni in base a tutte le combinazioni possibili dei segni di Fx ed Fy ed Fz.

Si è considerato un numero di modi di vibrazione sufficiente ad eccitare almeno l'85% della massa sismica in ogni posizione delle masse, di seguito si riportano i risultati salienti dell'analisi modale sia per il calcolo allo Stato Limite Ultimo che per quello di Esercizio.

## Periodi di vibrazione e Masse modali

Scenario di calcolo: **Set\_NT\_SLV\_SLD\_A2\_STR/GEO\_2018**

### Posizione masse 1

Numero di Frequenze 15

| N | T      | Coeff. Partecipazione |         | Masse Modali |         | Percentuali |         |
|---|--------|-----------------------|---------|--------------|---------|-------------|---------|
|   | s      |                       |         | kgm*g        |         |             |         |
|   |        | Dir=0°                | Dir=90° | Dir=0°       | Dir=90° | Dir=0°      | Dir=90° |
| 1 | 0.1736 | -8.956                | 70.492  | 787          | 48730   | 0.28        | 17.09   |
| 2 | 0.1688 | -117.859              | 18.985  | 136221       | 3535    | 47.78       | 1.24    |
| 3 | 0.1464 | 84.725                | -6.569  | 70395        | 423     | 24.69       | 0.15    |
| 4 | 0.1331 | -29.158               | -26.490 | 8338         | 6881    | 2.92        | 2.41    |
| 5 | 0.1268 | 3.185                 | 91.476  | 99           | 82060   | 0.03        | 28.78   |

| N                                | T      | Coeff. Partecipazione |         | Masse Modali |        | Percentuali |       |
|----------------------------------|--------|-----------------------|---------|--------------|--------|-------------|-------|
| 6                                | 0.1179 | -18.182               | -37.672 | 3242         | 13918  | 1.14        | 4.88  |
| 7                                | 0.1135 | 58.329                | 0.314   | 33364        | 1      | 11.70       | 0.00  |
| 8                                | 0.1079 | -14.900               | -60.067 | 2177         | 35382  | 0.76        | 12.41 |
| 9                                | 0.1069 | -18.576               | 45.418  | 3384         | 20229  | 1.19        | 7.10  |
| 10                               | 0.1035 | -20.802               | -65.174 | 4243         | 41655  | 1.49        | 14.61 |
| 11                               | 0.0943 | 17.598                | -1.170  | 3037         | 13     | 1.07        | 0.00  |
| 12                               | 0.0895 | -4.036                | 17.439  | 160          | 2982   | 0.06        | 1.05  |
| 13                               | 0.0867 | 6.358                 | 28.996  | 396          | 8245   | 0.14        | 2.89  |
| 14                               | 0.0830 | -3.239                | -15.695 | 103          | 2416   | 0.04        | 0.85  |
| 15                               | 0.0783 | 5.385                 | 15.970  | 284          | 2501   | 0.10        | 0.88  |
| Somma delle Masse Modali [kgm*g] |        |                       |         | 266231       | 268973 |             |       |
| Masse strutturali libere [kgm*g] |        |                       |         | 285121       | 285121 |             |       |
| Percentuale                      |        |                       |         | 93.37        | 94.34  | 93.37       | 94.34 |

Masse e coefficienti di partecipazione rotazionali:

| N  | T(s)   | Coeff. Partecipazione | Masse Modali<br>kgm*g | Percentuali |
|----|--------|-----------------------|-----------------------|-------------|
| 1  | 0.1736 | 742.141               | 5401234               | 9.92        |
| 2  | 0.1688 | 137.655               | 185824                | 0.34        |
| 3  | 0.1464 | -1226.848             | 14760530              | 27.10       |
| 4  | 0.1331 | -307.213              | 925551                | 1.70        |
| 5  | 0.1268 | -822.317              | 6631315               | 12.18       |
| 6  | 0.1179 | 776.096               | 5906788               | 10.85       |
| 7  | 0.1135 | 915.280               | 8215403               | 15.09       |
| 8  | 0.1079 | -850.352              | 7091175               | 13.02       |
| 9  | 0.1069 | 194.598               | 371360                | 0.68        |
| 10 | 0.1035 | -368.339              | 1330506               | 2.44        |
| 11 | 0.0943 | -90.672               | 80624                 | 0.15        |
| 12 | 0.0895 | 181.069               | 321521                | 0.59        |
| 13 | 0.0867 | -305.575              | 915705                | 1.68        |
| 14 | 0.0830 | -198.495              | 386384                | 0.71        |
| 15 | 0.0783 | -385.110              | 1454422               | 2.67        |

## Azioni sulla struttura

I calcoli e le verifiche sono condotti con il metodo semiprobabilistico degli stati limite secondo le indicazioni del **D.M. 17.01.2018**. I carichi agenti sui solai, derivanti dall'analisi dei carichi, sono assegnati alle aste in modo automatico in relazione all'influenza delle diverse aree di carico. I carichi dovuti ai tamponamenti, sia sulle travi di fondazione che su quelle di piano, sono schematizzati come carichi lineari agenti esclusivamente sulle aste. In presenza di platee il tamponamento è inserito considerando delle aste a sezione nulla la cui funzione è quella di ripartire il carico sui nodi degli elementi della platea ad essa collegati. Su tutti gli elementi strutturali è inoltre possibile applicare direttamente ulteriori azioni concentrate e/o distribuite. Le azioni introdotte direttamente sono combinate con le altre (carichi permanenti, accidentali e sisma) mediante le combinazioni di carico di seguito descritte; da esse si ottengono i valori probabilistici da impiegare successivamente nelle verifiche.

I solai, oltre a generare le condizioni di carico per carichi fissi e variabili, generano anche altre condizioni di carico che derivano dal carico accidentale moltiplicato per i coefficienti di contemporaneità  $\psi_0$ ,  $\psi_1$  e  $\psi_2$  da utilizzare per le varie combinazioni di carico e per la determinazione delle masse sismiche.

In fase di combinazione delle condizioni di carico si è agito su coefficienti moltiplicatori delle condizioni per definirne l'esatto contributo, sia in termini di carico che di massa; sono stati infine definiti gli scenari di calcolo come gruppi omogenei di combinazioni di carico. Di seguito vengono riportate le combinazioni di carico usate per lo Stato Limite Ultimo e per lo Stato Limite di Esercizio. Le verifiche sono riportate nel fascicolo dei calcoli.

Le tabelle riportano nell'ordine:

- Il nome della combinazione di carico.
- Il tipo di analisi svolta:
  - STR=Strutturale,
  - Statica STR=Sismica statica Strutturale,
  - Modale STR=Sismica modale strutturale,

- SLE Rara=Stato Limite Esercizio combinazione rara,
- SLE Freq=Stato Limite Esercizio combinazione frequente,
- SLE Q.Perm=Stato Limite Esercizio combinazione quasi Permanente,
- GEO=Geotecnica,
- Statica GEO=Sismica Statica Geotecnica,
- Modale GEO=Sismica modale Geotecnica,
- STR+GEO=Strutturale+Geotecnica,
- Statica STR+GEO=Sismica Statica Strutturale+Geotecnica,
- Modale STR+GEO=Sismica modale Strutturale+Geotecnica,
- Modale SLE= Combinazione sismica modale con spettro di progetto SLD,
- Statica SLE=Combinazione sismica statica con spettro di progetto SLD.

I termini "**Strutturale**", "**Geotecnica**" e "**Strutturale+Geotecnica**" indicano rispettivamente che la combinazione è usata dal programma per la determinazione delle verifiche di resistenza degli elementi strutturali, delle sole verifiche geotecniche, sia per le verifiche strutturali che geotecniche.

- Lo spettro usato, se sismica.
- Il fattore amplificativo del sisma.
- L'angolo di ingresso del sisma, se trattasi di analisi sismica.
- Il nome della condizione di carico.
- Il fattore di combinazione per i carichi verticali.
- Se la condizione (con il suo coefficiente di peso) è inclusa nella combinazione (colonna Attiva).
- Se la condizione partecipa alla determinazione della massa (colonna Massa).
- Il fattore con cui partecipa alla determinazione della massa (se non è esclusa dalla determinazione della massa).

## Scenario di calcolo

Scenario : Set\_NT\_SLV\_SLD\_A2\_STR/GEO\_2018

### Combinazione n° 1: Solo Permanenti

Tipo: STR  
 Spettro: n.a.  
 Fattore sisma: n.a.  
 Angolo ingresso sisma [°]: n.a.  
 Kmod: 0.60

| Condizione di carico | Fattore di combinazione | Attiva | Massa | Fattore massa |
|----------------------|-------------------------|--------|-------|---------------|
| Peso Proprio         | 1.3                     | Si     | n.a.  | n.a.          |
| QP Solai             | 1.3                     | Si     | n.a.  | n.a.          |
| QFissi Solai         | 1.5                     | Si     | n.a.  | n.a.          |
| QV Solai             | 1                       | No     | n.a.  | n.a.          |
| QV SolaiPsi0         | 1                       | No     | n.a.  | n.a.          |
| QV SolaiPsi1         | 1                       | No     | n.a.  | n.a.          |
| QV SolaiPsi2         | 1                       | No     | n.a.  | n.a.          |
| Tamponamento         | 1.5                     | Si     | n.a.  | n.a.          |
| Neve                 | 1                       | No     | n.a.  | n.a.          |
| Vento X              | 1                       | No     | n.a.  | n.a.          |
| Vento Y              | 1                       | No     | n.a.  | n.a.          |
| Carichi termici      | 1                       | No     | n.a.  | n.a.          |
| Spinta terreno       | 1.3                     | Si     | n.a.  | n.a.          |
| Vento - X            | 1                       | No     | n.a.  | n.a.          |
| Vento -Y             | 1                       | No     | n.a.  | n.a.          |

### Combinazione n° 2: AD QVSolai

Tipo: STR+GEO  
 Spettro: n.a.  
 Fattore sisma: n.a.  
 Angolo ingresso sisma [°]: n.a.  
 Kmod: 0.90

| Condizione di carico | Fattore di combinazione | Attiva | Massa | Fattore massa |
|----------------------|-------------------------|--------|-------|---------------|
| Peso Proprio         | 1.3                     | Si     | n.a.  | n.a.          |
| QP Solai             | 1.3                     | Si     | n.a.  | n.a.          |
| QFissi Solai         | 1.5                     | Si     | n.a.  | n.a.          |
| QV Solai             | 1.5                     | Si     | n.a.  | n.a.          |
| QV SolaiPsi0         | 1                       | No     | n.a.  | n.a.          |
| QV SolaiPsi1         | 1                       | No     | n.a.  | n.a.          |
| QV SolaiPsi2         | 1                       | No     | n.a.  | n.a.          |
| Tamponamento         | 1.5                     | Si     | n.a.  | n.a.          |
| Neve                 | 0.75                    | Si     | n.a.  | n.a.          |
| Vento X              | 1                       | No     | n.a.  | n.a.          |
| Vento Y              | 0.9                     | Si     | n.a.  | n.a.          |
| Carichi termici      | 0.9                     | Si     | n.a.  | n.a.          |
| Spinta terreno       | 1.3                     | Si     | n.a.  | n.a.          |
| Vento - X            | 1                       | No     | n.a.  | n.a.          |
| Vento -Y             | 1                       | No     | n.a.  | n.a.          |

**Combinazione n° 3: AD QVSolai**

Tipo: STR+GEO

Spettro: n.a.

Fattore sisma: n.a.

Angolo ingresso sisma [°]: n.a.

Kmod: 0.90

| Condizione di carico | Fattore di combinazione | Attiva | Massa | Fattore massa |
|----------------------|-------------------------|--------|-------|---------------|
| Peso Proprio         | 1.3                     | Si     | n.a.  | n.a.          |
| QP Solai             | 1.3                     | Si     | n.a.  | n.a.          |
| QFissi Solai         | 1.5                     | Si     | n.a.  | n.a.          |
| QV Solai             | 1.5                     | Si     | n.a.  | n.a.          |
| QV SolaiPsi0         | 1                       | No     | n.a.  | n.a.          |
| QV SolaiPsi1         | 1                       | No     | n.a.  | n.a.          |
| QV SolaiPsi2         | 1                       | No     | n.a.  | n.a.          |
| Tamponamento         | 1.5                     | Si     | n.a.  | n.a.          |
| Neve                 | 0.75                    | Si     | n.a.  | n.a.          |
| Vento X              | 0.9                     | Si     | n.a.  | n.a.          |
| Vento Y              | 1                       | No     | n.a.  | n.a.          |
| Carichi termici      | 0.9                     | Si     | n.a.  | n.a.          |
| Spinta terreno       | 1.3                     | Si     | n.a.  | n.a.          |
| Vento - X            | 0.9                     | Si     | n.a.  | n.a.          |
| Vento -Y             | 1                       | No     | n.a.  | n.a.          |

**Combinazione n° 4: AD Neve**

Tipo: STR+GEO

Spettro: n.a.

Fattore sisma: n.a.

Angolo ingresso sisma [°]: n.a.

Kmod: 0.80

| Condizione di carico | Fattore di combinazione | Attiva | Massa | Fattore massa |
|----------------------|-------------------------|--------|-------|---------------|
| Peso Proprio         | 1.3                     | Si     | n.a.  | n.a.          |
| QP Solai             | 1.3                     | Si     | n.a.  | n.a.          |
| QFissi Solai         | 1.5                     | Si     | n.a.  | n.a.          |
| QV Solai             | 1                       | No     | n.a.  | n.a.          |
| QV SolaiPsi0         | 1.5                     | Si     | n.a.  | n.a.          |
| QV SolaiPsi1         | 1                       | No     | n.a.  | n.a.          |
| QV SolaiPsi2         | 1                       | No     | n.a.  | n.a.          |
| Tamponamento         | 1.5                     | Si     | n.a.  | n.a.          |
| Neve                 | 1.5                     | Si     | n.a.  | n.a.          |

| Condizione di carico | Fattore di combinazione | Attiva | Massa | Fattore massa |
|----------------------|-------------------------|--------|-------|---------------|
| Vento X              | 1                       | No     | n.a.  | n.a.          |
| Vento Y              | 0.9                     | Si     | n.a.  | n.a.          |
| Carichi termici      | 0.9                     | Si     | n.a.  | n.a.          |
| Spinta terreno       | 1.3                     | Si     | n.a.  | n.a.          |
| Vento - X            | 1                       | No     | n.a.  | n.a.          |
| Vento -Y             | 0.9                     | Si     | n.a.  | n.a.          |

**Combinazione n° 5: AD Neve**

Tipo: STR+GEO

Spettro: n.a.

Fattore sisma: n.a.

Angolo ingresso sisma [°]: n.a.

Kmod: 0.80

| Condizione di carico | Fattore di combinazione | Attiva | Massa | Fattore massa |
|----------------------|-------------------------|--------|-------|---------------|
| Peso Proprio         | 1.3                     | Si     | n.a.  | n.a.          |
| QP Solai             | 1.3                     | Si     | n.a.  | n.a.          |
| QFissi Solai         | 1.5                     | Si     | n.a.  | n.a.          |
| QV Solai             | 1                       | No     | n.a.  | n.a.          |
| QV SolaiPsi0         | 1.5                     | Si     | n.a.  | n.a.          |
| QV SolaiPsi1         | 1                       | No     | n.a.  | n.a.          |
| QV SolaiPsi2         | 1                       | No     | n.a.  | n.a.          |
| Tamponamento         | 1.5                     | Si     | n.a.  | n.a.          |
| Neve                 | 1.5                     | Si     | n.a.  | n.a.          |
| Vento X              | 0.9                     | Si     | n.a.  | n.a.          |
| Vento Y              | 1                       | No     | n.a.  | n.a.          |
| Carichi termici      | 0.9                     | Si     | n.a.  | n.a.          |
| Spinta terreno       | 1.3                     | Si     | n.a.  | n.a.          |
| Vento - X            | 0.9                     | Si     | n.a.  | n.a.          |
| Vento -Y             | 1                       | No     | n.a.  | n.a.          |

**Combinazione n° 6: AD Neve**

Tipo: STR+GEO

Spettro: n.a.

Fattore sisma: n.a.

Angolo ingresso sisma [°]: n.a.

Kmod: 0.80

| Condizione di carico | Fattore di combinazione | Attiva | Massa | Fattore massa |
|----------------------|-------------------------|--------|-------|---------------|
| Peso Proprio         | 1.3                     | Si     | n.a.  | n.a.          |
| QP Solai             | 1.3                     | Si     | n.a.  | n.a.          |
| QFissi Solai         | 1.5                     | Si     | n.a.  | n.a.          |
| QV Solai             | 1                       | No     | n.a.  | n.a.          |
| QV SolaiPsi0         | 1.5                     | Si     | n.a.  | n.a.          |
| QV SolaiPsi1         | 1                       | No     | n.a.  | n.a.          |
| QV SolaiPsi2         | 1                       | No     | n.a.  | n.a.          |
| Tamponamento         | 1.5                     | Si     | n.a.  | n.a.          |
| Neve                 | 1.5                     | Si     | n.a.  | n.a.          |
| Vento X              | 1                       | No     | n.a.  | n.a.          |
| Vento Y              | 0.9                     | Si     | n.a.  | n.a.          |
| Carichi termici      | 0.9                     | Si     | n.a.  | n.a.          |
| Spinta terreno       | 1.3                     | Si     | n.a.  | n.a.          |
| Vento - X            | 1                       | No     | n.a.  | n.a.          |
| Vento -Y             | 0.9                     | Si     | n.a.  | n.a.          |

**Combinazione n° 7: AD Neve**

Tipo: STR+GEO  
 Spettro: n.a.  
 Fattore sisma: n.a.  
 Angolo ingresso sisma [°]: n.a.  
 Kmod: 0.80

| Condizione di carico | Fattore di combinazione | Attiva | Massa | Fattore massa |
|----------------------|-------------------------|--------|-------|---------------|
| Peso Proprio         | 1.3                     | Si     | n.a.  | n.a.          |
| QP Solai             | 1.3                     | Si     | n.a.  | n.a.          |
| QFissi Solai         | 1.5                     | Si     | n.a.  | n.a.          |
| QV Solai             | 1                       | No     | n.a.  | n.a.          |
| QV SolaiPsi0         | 1.5                     | Si     | n.a.  | n.a.          |
| QV SolaiPsi1         | 1                       | No     | n.a.  | n.a.          |
| QV SolaiPsi2         | 1                       | No     | n.a.  | n.a.          |
| Tamponamento         | 1.5                     | Si     | n.a.  | n.a.          |
| Neve                 | 1.5                     | Si     | n.a.  | n.a.          |
| Vento X              | 1                       | No     | n.a.  | n.a.          |
| Vento Y              | 0.9                     | Si     | n.a.  | n.a.          |
| Carichi termici      | 0.9                     | Si     | n.a.  | n.a.          |
| Spinta terreno       | 1.3                     | Si     | n.a.  | n.a.          |
| Vento - X            | 1                       | No     | n.a.  | n.a.          |
| Vento -Y             | 1                       | No     | n.a.  | n.a.          |

#### Combinazione n° 8: AD VentoX

Tipo: STR+GEO  
 Spettro: n.a.  
 Fattore sisma: n.a.  
 Angolo ingresso sisma [°]: n.a.  
 Kmod: 0.90

| Condizione di carico | Fattore di combinazione | Attiva | Massa | Fattore massa |
|----------------------|-------------------------|--------|-------|---------------|
| Peso Proprio         | 1.3                     | Si     | n.a.  | n.a.          |
| QP Solai             | 1.3                     | Si     | n.a.  | n.a.          |
| QFissi Solai         | 1.5                     | Si     | n.a.  | n.a.          |
| QV Solai             | 1                       | No     | n.a.  | n.a.          |
| QV SolaiPsi0         | 1.5                     | Si     | n.a.  | n.a.          |
| QV SolaiPsi1         | 1                       | No     | n.a.  | n.a.          |
| QV SolaiPsi2         | 1                       | No     | n.a.  | n.a.          |
| Tamponamento         | 1.5                     | Si     | n.a.  | n.a.          |
| Neve                 | 0.75                    | Si     | n.a.  | n.a.          |
| Vento X              | 1.5                     | Si     | n.a.  | n.a.          |
| Vento Y              | 1                       | No     | n.a.  | n.a.          |
| Carichi termici      | 0.9                     | Si     | n.a.  | n.a.          |
| Spinta terreno       | 1.3                     | Si     | n.a.  | n.a.          |
| Vento - X            | 1                       | No     | n.a.  | n.a.          |
| Vento -Y             | 1                       | No     | n.a.  | n.a.          |

#### Combinazione n° 9: AD VentoY

Tipo: STR+GEO  
 Spettro: n.a.  
 Fattore sisma: n.a.  
 Angolo ingresso sisma [°]: n.a.  
 Kmod: 0.90

| Condizione di carico | Fattore di combinazione | Attiva | Massa | Fattore massa |
|----------------------|-------------------------|--------|-------|---------------|
| Peso Proprio         | 1.3                     | Si     | n.a.  | n.a.          |
| QP Solai             | 1.3                     | Si     | n.a.  | n.a.          |

| Condizione di carico | Fattore di combinazione | Attiva | Massa | Fattore massa |
|----------------------|-------------------------|--------|-------|---------------|
| QFissi Solai         | 1.5                     | Si     | n.a.  | n.a.          |
| QV Solai             | 1                       | No     | n.a.  | n.a.          |
| QV SolaiPsi0         | 1.5                     | Si     | n.a.  | n.a.          |
| QV SolaiPsi1         | 1                       | No     | n.a.  | n.a.          |
| QV SolaiPsi2         | 1                       | No     | n.a.  | n.a.          |
| Tamponamento         | 1.5                     | Si     | n.a.  | n.a.          |
| Neve                 | 0.75                    | Si     | n.a.  | n.a.          |
| Vento X              | 1                       | No     | n.a.  | n.a.          |
| Vento Y              | 1.5                     | Si     | n.a.  | n.a.          |
| Carichi termici      | 0.9                     | Si     | n.a.  | n.a.          |
| Spinta terreno       | 1.3                     | Si     | n.a.  | n.a.          |
| Vento - X            | 1                       | No     | n.a.  | n.a.          |
| Vento -Y             | 1                       | No     | n.a.  | n.a.          |

**Combinazione n° 10: AD Termici**

Tipo: STR+GEO  
 Spettro: n.a.  
 Fattore sisma: n.a.  
 Angolo ingresso sisma [°]: n.a.  
 Kmod: -1.00

| Condizione di carico | Fattore di combinazione | Attiva | Massa | Fattore massa |
|----------------------|-------------------------|--------|-------|---------------|
| Peso Proprio         | 1.3                     | Si     | n.a.  | n.a.          |
| QP Solai             | 1.3                     | Si     | n.a.  | n.a.          |
| QFissi Solai         | 1.5                     | Si     | n.a.  | n.a.          |
| QV Solai             | 1                       | No     | n.a.  | n.a.          |
| QV SolaiPsi0         | 1.5                     | Si     | n.a.  | n.a.          |
| QV SolaiPsi1         | 1                       | No     | n.a.  | n.a.          |
| QV SolaiPsi2         | 1                       | No     | n.a.  | n.a.          |
| Tamponamento         | 1.5                     | Si     | n.a.  | n.a.          |
| Neve                 | 0.75                    | Si     | n.a.  | n.a.          |
| Vento X              | 0.9                     | Si     | n.a.  | n.a.          |
| Vento Y              | 1                       | No     | n.a.  | n.a.          |
| Carichi termici      | 1.5                     | Si     | n.a.  | n.a.          |
| Spinta terreno       | 1.3                     | Si     | n.a.  | n.a.          |
| Vento - X            | 1                       | No     | n.a.  | n.a.          |
| Vento -Y             | 1                       | No     | n.a.  | n.a.          |

**Combinazione n° 11: AD Termici**

Tipo: STR+GEO  
 Spettro: n.a.  
 Fattore sisma: n.a.  
 Angolo ingresso sisma [°]: n.a.  
 Kmod: -1.00

| Condizione di carico | Fattore di combinazione | Attiva | Massa | Fattore massa |
|----------------------|-------------------------|--------|-------|---------------|
| Peso Proprio         | 1.3                     | Si     | n.a.  | n.a.          |
| QP Solai             | 1.3                     | Si     | n.a.  | n.a.          |
| QFissi Solai         | 1.5                     | Si     | n.a.  | n.a.          |
| QV Solai             | 1                       | No     | n.a.  | n.a.          |
| QV SolaiPsi0         | 1.5                     | Si     | n.a.  | n.a.          |
| QV SolaiPsi1         | 1                       | No     | n.a.  | n.a.          |
| QV SolaiPsi2         | 1                       | No     | n.a.  | n.a.          |
| Tamponamento         | 1.5                     | Si     | n.a.  | n.a.          |
| Neve                 | 0.75                    | Si     | n.a.  | n.a.          |
| Vento X              | 1                       | No     | n.a.  | n.a.          |
| Vento Y              | 0.9                     | Si     | n.a.  | n.a.          |



| Condizione di carico | Fattore di combinazione | Attiva | Massa | Fattore massa |
|----------------------|-------------------------|--------|-------|---------------|
| Carichi termici      | 1.5                     | Si     | n.a.  | n.a.          |
| Spinta terreno       | 1.3                     | Si     | n.a.  | n.a.          |
| Vento - X            | 1                       | No     | n.a.  | n.a.          |
| Vento -Y             | 1                       | No     | n.a.  | n.a.          |

**Combinazione n° 12: AD Termici**

Tipo: STR+GEO

Spettro: n.a.

Fattore sisma: n.a.

Angolo ingresso sisma [°]: n.a.

Kmod: -1.00

| Condizione di carico | Fattore di combinazione | Attiva | Massa | Fattore massa |
|----------------------|-------------------------|--------|-------|---------------|
| Peso Proprio         | 1.3                     | Si     | n.a.  | n.a.          |
| QP Solai             | 1.3                     | Si     | n.a.  | n.a.          |
| QFissi Solai         | 1.5                     | Si     | n.a.  | n.a.          |
| QV Solai             | 1                       | No     | n.a.  | n.a.          |
| QV SolaiPsi0         | 1.5                     | Si     | n.a.  | n.a.          |
| QV SolaiPsi1         | 1                       | No     | n.a.  | n.a.          |
| QV SolaiPsi2         | 1                       | No     | n.a.  | n.a.          |
| Tamponamento         | 1.5                     | Si     | n.a.  | n.a.          |
| Neve                 | 0.75                    | Si     | n.a.  | n.a.          |
| Vento X              | 1                       | No     | n.a.  | n.a.          |
| Vento Y              | 1                       | No     | n.a.  | n.a.          |
| Carichi termici      | 1.5                     | Si     | n.a.  | n.a.          |
| Spinta terreno       | 1.3                     | Si     | n.a.  | n.a.          |
| Vento - X            | 0.9                     | Si     | n.a.  | n.a.          |
| Vento -Y             | 1                       | No     | n.a.  | n.a.          |

**Combinazione n° 13: AD Termici**

Tipo: STR+GEO

Spettro: n.a.

Fattore sisma: n.a.

Angolo ingresso sisma [°]: n.a.

Kmod: -1.00

| Condizione di carico | Fattore di combinazione | Attiva | Massa | Fattore massa |
|----------------------|-------------------------|--------|-------|---------------|
| Peso Proprio         | 1.3                     | Si     | n.a.  | n.a.          |
| QP Solai             | 1.3                     | Si     | n.a.  | n.a.          |
| QFissi Solai         | 1.5                     | Si     | n.a.  | n.a.          |
| QV Solai             | 1                       | No     | n.a.  | n.a.          |
| QV SolaiPsi0         | 1.5                     | Si     | n.a.  | n.a.          |
| QV SolaiPsi1         | 1                       | No     | n.a.  | n.a.          |
| QV SolaiPsi2         | 1                       | No     | n.a.  | n.a.          |
| Tamponamento         | 1.5                     | Si     | n.a.  | n.a.          |
| Neve                 | 0.75                    | Si     | n.a.  | n.a.          |
| Vento X              | 1                       | No     | n.a.  | n.a.          |
| Vento Y              | 1                       | No     | n.a.  | n.a.          |
| Carichi termici      | 1.5                     | Si     | n.a.  | n.a.          |
| Spinta terreno       | 1.3                     | Si     | n.a.  | n.a.          |
| Vento - X            | 1                       | No     | n.a.  | n.a.          |
| Vento -Y             | 0.9                     | Si     | n.a.  | n.a.          |

**Combinazione n° 14: AD Vento-X**

Tipo: STR+GEO

Spettro: n.a.

Fattore sisma: n.a.  
 Angolo ingresso sisma [°]: n.a.  
 Kmod: 0.90

| Condizione di carico | Fattore di combinazione | Attiva | Massa | Fattore massa |
|----------------------|-------------------------|--------|-------|---------------|
| Peso Proprio         | 1.3                     | Si     | n.a.  | n.a.          |
| QP Solai             | 1.3                     | Si     | n.a.  | n.a.          |
| QFissi Solai         | 1.5                     | Si     | n.a.  | n.a.          |
| QV Solai             | 1                       | No     | n.a.  | n.a.          |
| QV SolaiPsi0         | 1.5                     | Si     | n.a.  | n.a.          |
| QV SolaiPsi1         | 1                       | No     | n.a.  | n.a.          |
| QV SolaiPsi2         | 1                       | No     | n.a.  | n.a.          |
| Tamponamento         | 1.5                     | Si     | n.a.  | n.a.          |
| Neve                 | 0.75                    | Si     | n.a.  | n.a.          |
| Vento X              | 0.9                     | Si     | n.a.  | n.a.          |
| Vento Y              | 0.9                     | Si     | n.a.  | n.a.          |
| Carichi termici      | 0.9                     | Si     | n.a.  | n.a.          |
| Spinta terreno       | 1.3                     | Si     | n.a.  | n.a.          |
| Vento - X            | 1.5                     | Si     | n.a.  | n.a.          |
| Vento -Y             | 0.9                     | Si     | n.a.  | n.a.          |

**Combinazione n° 15: AD Vento-Y**

Tipo: STR+GEO  
 Spettro: n.a.  
 Fattore sisma: n.a.  
 Angolo ingresso sisma [°]: n.a.  
 Kmod: 0.90

| Condizione di carico | Fattore di combinazione | Attiva | Massa | Fattore massa |
|----------------------|-------------------------|--------|-------|---------------|
| Peso Proprio         | 1.3                     | Si     | n.a.  | n.a.          |
| QP Solai             | 1.3                     | Si     | n.a.  | n.a.          |
| QFissi Solai         | 1.5                     | Si     | n.a.  | n.a.          |
| QV Solai             | 1                       | No     | n.a.  | n.a.          |
| QV SolaiPsi0         | 1.5                     | Si     | n.a.  | n.a.          |
| QV SolaiPsi1         | 1                       | No     | n.a.  | n.a.          |
| QV SolaiPsi2         | 1                       | No     | n.a.  | n.a.          |
| Tamponamento         | 1.5                     | Si     | n.a.  | n.a.          |
| Neve                 | 0.75                    | Si     | n.a.  | n.a.          |
| Vento X              | 0.9                     | Si     | n.a.  | n.a.          |
| Vento Y              | 0.9                     | Si     | n.a.  | n.a.          |
| Carichi termici      | 0.9                     | Si     | n.a.  | n.a.          |
| Spinta terreno       | 1.3                     | Si     | n.a.  | n.a.          |
| Vento - X            | 0.9                     | Si     | n.a.  | n.a.          |
| Vento -Y             | 1.5                     | Si     | n.a.  | n.a.          |

**Combinazione n° 16: SISMAX\_SLV**

Tipo: Modale STR+GEO  
 Spettro: SpettroNT\_ 2018(q=1.5)  
 Fattore sisma: 1.00  
 Angolo ingresso sisma [°]: 0  
 Kmod: 1.00

| Condizione di carico | Fattore di combinazione | Attiva | Massa | Fattore massa |
|----------------------|-------------------------|--------|-------|---------------|
| Peso Proprio         | 1                       | Si     | Si    | 1             |
| QP Solai             | 1                       | Si     | Si    | 1             |
| QFissi Solai         | 1                       | Si     | Si    | 1             |
| QV Solai             | 1                       | No     | No    | 1             |

| Condizione di carico | Fattore di combinazione | Attiva | Massa | Fattore massa |
|----------------------|-------------------------|--------|-------|---------------|
| QV SolaiPsi0         | 1                       | No     | No    | 1             |
| QV SolaiPsi1         | 1                       | No     | No    | 1             |
| QV SolaiPsi2         | 1                       | Si     | Si    | 1             |
| Tamponamento         | 1                       | Si     | Si    | 1             |
| Neve                 | 1                       | No     | No    | 1             |
| Vento X              | 1                       | No     | No    | 1             |
| Vento Y              | 1                       | No     | No    | 1             |
| Carichi termici      | 1                       | No     | No    | 1             |
| Spinta terreno       | 1                       | Si     | No    | 1             |
| Vento - X            | 1                       | No     | No    | 1             |
| Vento -Y             | 1                       | No     | No    | 1             |

**Combinazione n° 17: SISMAY\_SLV**

Tipo: Modale STR+GEO  
 Spettro: SpettroNT\_ 2018(q=1.5)  
 Fattore sisma: 1.00  
 Angolo ingresso sisma [°]: 90  
 Kmod: 1.00

| Condizione di carico | Fattore di combinazione | Attiva | Massa | Fattore massa |
|----------------------|-------------------------|--------|-------|---------------|
| Peso Proprio         | 1                       | Si     | Si    | 1             |
| QP Solai             | 1                       | Si     | Si    | 1             |
| QFissi Solai         | 1                       | Si     | Si    | 1             |
| QV Solai             | 1                       | No     | No    | 1             |
| QV SolaiPsi0         | 1                       | No     | No    | 1             |
| QV SolaiPsi1         | 1                       | No     | No    | 1             |
| QV SolaiPsi2         | 1                       | Si     | Si    | 1             |
| Tamponamento         | 1                       | Si     | Si    | 1             |
| Neve                 | 1                       | No     | No    | 1             |
| Vento X              | 1                       | No     | No    | 1             |
| Vento Y              | 1                       | No     | No    | 1             |
| Carichi termici      | 1                       | No     | No    | 1             |
| Spinta terreno       | 1                       | Si     | No    | 1             |
| Vento - X            | 1                       | No     | No    | 1             |
| Vento -Y             | 1                       | No     | No    | 1             |

**Combinazione n° 18: AD QVSolai**

Tipo: SLE Rara  
 Spettro: n.a.  
 Fattore sisma: n.a.  
 Angolo ingresso sisma [°]: n.a.  
 Kmod: 1.00

| Condizione di carico | Fattore di combinazione | Attiva | Massa | Fattore massa |
|----------------------|-------------------------|--------|-------|---------------|
| Peso Proprio         | 1                       | Si     | n.a.  | n.a.          |
| QP Solai             | 1                       | Si     | n.a.  | n.a.          |
| QFissi Solai         | 1                       | Si     | n.a.  | n.a.          |
| QV Solai             | 1                       | Si     | n.a.  | n.a.          |
| QV SolaiPsi0         | 1                       | No     | n.a.  | n.a.          |
| QV SolaiPsi1         | 1                       | No     | n.a.  | n.a.          |
| QV SolaiPsi2         | 1                       | No     | n.a.  | n.a.          |
| Tamponamento         | 1                       | Si     | n.a.  | n.a.          |
| Neve                 | 0.5                     | Si     | n.a.  | n.a.          |
| Vento X              | 0.6                     | Si     | n.a.  | n.a.          |
| Vento Y              | 0.6                     | Si     | n.a.  | n.a.          |
| Carichi termici      | 0.6                     | Si     | n.a.  | n.a.          |
| Spinta terreno       | 1                       | Si     | n.a.  | n.a.          |

| Condizione di carico | Fattore di combinazione | Attiva | Massa | Fattore massa |
|----------------------|-------------------------|--------|-------|---------------|
| Vento - X            | 0.6                     | Si     | n.a.  | n.a.          |
| Vento -Y             | 0.6                     | Si     | n.a.  | n.a.          |

**Combinazione n° 19: AD QVSolai**

Tipo: SLE Rara  
 Spettro: n.a.  
 Fattore sisma: n.a.  
 Angolo ingresso sisma [°]: n.a.  
 Kmod: 1.00

| Condizione di carico | Fattore di combinazione | Attiva | Massa | Fattore massa |
|----------------------|-------------------------|--------|-------|---------------|
| Peso Proprio         | 1                       | Si     | n.a.  | n.a.          |
| QP Solai             | 1                       | Si     | n.a.  | n.a.          |
| QFissi Solai         | 1                       | Si     | n.a.  | n.a.          |
| QV Solai             | 1                       | Si     | n.a.  | n.a.          |
| QV SolaiPsi0         | 1                       | No     | n.a.  | n.a.          |
| QV SolaiPsi1         | 1                       | No     | n.a.  | n.a.          |
| QV SolaiPsi2         | 1                       | No     | n.a.  | n.a.          |
| Tamponamento         | 1                       | Si     | n.a.  | n.a.          |
| Neve                 | 0.5                     | Si     | n.a.  | n.a.          |
| Vento X              | 0.6                     | Si     | n.a.  | n.a.          |
| Vento Y              | 0.6                     | Si     | n.a.  | n.a.          |
| Carichi termici      | 0.6                     | Si     | n.a.  | n.a.          |
| Spinta terreno       | 1                       | Si     | n.a.  | n.a.          |
| Vento - X            | 1                       | No     | n.a.  | n.a.          |
| Vento -Y             | 0.6                     | Si     | n.a.  | n.a.          |

**Combinazione n° 20: AD QVSolai**

Tipo: SLE Rara  
 Spettro: n.a.  
 Fattore sisma: n.a.  
 Angolo ingresso sisma [°]: n.a.  
 Kmod: 1.00

| Condizione di carico | Fattore di combinazione | Attiva | Massa | Fattore massa |
|----------------------|-------------------------|--------|-------|---------------|
| Peso Proprio         | 1                       | Si     | n.a.  | n.a.          |
| QP Solai             | 1                       | Si     | n.a.  | n.a.          |
| QFissi Solai         | 1                       | Si     | n.a.  | n.a.          |
| QV Solai             | 1                       | Si     | n.a.  | n.a.          |
| QV SolaiPsi0         | 1                       | No     | n.a.  | n.a.          |
| QV SolaiPsi1         | 1                       | No     | n.a.  | n.a.          |
| QV SolaiPsi2         | 1                       | No     | n.a.  | n.a.          |
| Tamponamento         | 1                       | Si     | n.a.  | n.a.          |
| Neve                 | 0.5                     | Si     | n.a.  | n.a.          |
| Vento X              | 0.6                     | Si     | n.a.  | n.a.          |
| Vento Y              | 0.6                     | Si     | n.a.  | n.a.          |
| Carichi termici      | 0.6                     | Si     | n.a.  | n.a.          |
| Spinta terreno       | 1                       | Si     | n.a.  | n.a.          |
| Vento - X            | 0.6                     | Si     | n.a.  | n.a.          |
| Vento -Y             | 0.6                     | Si     | n.a.  | n.a.          |

**Combinazione n° 21: AD QVSolai**

Tipo: SLE Rara  
 Spettro: n.a.  
 Fattore sisma: n.a.  
 Angolo ingresso sisma [°]: n.a.

Kmod: 1.00

| Condizione di carico | Fattore di combinazione | Attiva | Massa | Fattore massa |
|----------------------|-------------------------|--------|-------|---------------|
| Peso Proprio         | 1                       | Si     | n.a.  | n.a.          |
| QP Solai             | 1                       | Si     | n.a.  | n.a.          |
| QFissi Solai         | 1                       | Si     | n.a.  | n.a.          |
| QV Solai             | 1                       | Si     | n.a.  | n.a.          |
| QV SolaiPsi0         | 1                       | No     | n.a.  | n.a.          |
| QV SolaiPsi1         | 1                       | No     | n.a.  | n.a.          |
| QV SolaiPsi2         | 1                       | No     | n.a.  | n.a.          |
| Tamponamento         | 1                       | Si     | n.a.  | n.a.          |
| Neve                 | 0.5                     | Si     | n.a.  | n.a.          |
| Vento X              | 1                       | No     | n.a.  | n.a.          |
| Vento Y              | 0.6                     | Si     | n.a.  | n.a.          |
| Carichi termici      | 0.6                     | Si     | n.a.  | n.a.          |
| Spinta terreno       | 1                       | Si     | n.a.  | n.a.          |
| Vento - X            | 0.6                     | Si     | n.a.  | n.a.          |
| Vento -Y             | 0.6                     | Si     | n.a.  | n.a.          |

**Combinazione n° 22: AD Neve**

Tipo: SLE Rara  
 Spettro: n.a.  
 Fattore sisma: n.a.  
 Angolo ingresso sisma [°]: n.a.  
 Kmod: 1.00

| Condizione di carico | Fattore di combinazione | Attiva | Massa | Fattore massa |
|----------------------|-------------------------|--------|-------|---------------|
| Peso Proprio         | 1                       | Si     | n.a.  | n.a.          |
| QP Solai             | 1                       | Si     | n.a.  | n.a.          |
| QFissi Solai         | 1                       | Si     | n.a.  | n.a.          |
| QV Solai             | 1                       | No     | n.a.  | n.a.          |
| QV SolaiPsi0         | 1                       | Si     | n.a.  | n.a.          |
| QV SolaiPsi1         | 1                       | No     | n.a.  | n.a.          |
| QV SolaiPsi2         | 1                       | No     | n.a.  | n.a.          |
| Tamponamento         | 1                       | Si     | n.a.  | n.a.          |
| Neve                 | 1                       | Si     | n.a.  | n.a.          |
| Vento X              | 1                       | No     | n.a.  | n.a.          |
| Vento Y              | 0.6                     | Si     | n.a.  | n.a.          |
| Carichi termici      | 0.6                     | Si     | n.a.  | n.a.          |
| Spinta terreno       | 1                       | Si     | n.a.  | n.a.          |
| Vento - X            | 1                       | No     | n.a.  | n.a.          |
| Vento -Y             | 1                       | No     | n.a.  | n.a.          |

**Combinazione n° 23: AD Neve**

Tipo: SLE Rara  
 Spettro: n.a.  
 Fattore sisma: n.a.  
 Angolo ingresso sisma [°]: n.a.  
 Kmod: 1.00

| Condizione di carico | Fattore di combinazione | Attiva | Massa | Fattore massa |
|----------------------|-------------------------|--------|-------|---------------|
| Peso Proprio         | 1                       | Si     | n.a.  | n.a.          |
| QP Solai             | 1                       | Si     | n.a.  | n.a.          |
| QFissi Solai         | 1                       | Si     | n.a.  | n.a.          |
| QV Solai             | 1                       | No     | n.a.  | n.a.          |
| QV SolaiPsi0         | 1                       | Si     | n.a.  | n.a.          |
| QV SolaiPsi1         | 1                       | No     | n.a.  | n.a.          |

| Condizione di carico | Fattore di combinazione | Attiva | Massa | Fattore massa |
|----------------------|-------------------------|--------|-------|---------------|
| QV SolaiPsi2         | 1                       | No     | n.a.  | n.a.          |
| Tamponamento         | 1                       | Si     | n.a.  | n.a.          |
| Neve                 | 1                       | Si     | n.a.  | n.a.          |
| Vento X              | 0.6                     | Si     | n.a.  | n.a.          |
| Vento Y              | 1                       | No     | n.a.  | n.a.          |
| Carichi termici      | 1                       | No     | n.a.  | n.a.          |
| Spinta terreno       | 1                       | Si     | n.a.  | n.a.          |
| Vento - X            | 0.6                     | Si     | n.a.  | n.a.          |
| Vento -Y             | 0.6                     | Si     | n.a.  | n.a.          |

**Combinazione n° 24: AD VentoX**

Tipo: SLE Rara  
 Spettro: n.a.  
 Fattore sisma: n.a.  
 Angolo ingresso sisma [°]: n.a.  
 Kmod: 1.00

| Condizione di carico | Fattore di combinazione | Attiva | Massa | Fattore massa |
|----------------------|-------------------------|--------|-------|---------------|
| Peso Proprio         | 1                       | Si     | n.a.  | n.a.          |
| QP Solai             | 1                       | Si     | n.a.  | n.a.          |
| QFissi Solai         | 1                       | Si     | n.a.  | n.a.          |
| QV Solai             | 1                       | No     | n.a.  | n.a.          |
| QV SolaiPsi0         | 1                       | Si     | n.a.  | n.a.          |
| QV SolaiPsi1         | 1                       | No     | n.a.  | n.a.          |
| QV SolaiPsi2         | 1                       | No     | n.a.  | n.a.          |
| Tamponamento         | 1                       | Si     | n.a.  | n.a.          |
| Neve                 | 0.5                     | Si     | n.a.  | n.a.          |
| Vento X              | 1                       | Si     | n.a.  | n.a.          |
| Vento Y              | 0.6                     | Si     | n.a.  | n.a.          |
| Carichi termici      | 0.6                     | Si     | n.a.  | n.a.          |
| Spinta terreno       | 1                       | Si     | n.a.  | n.a.          |
| Vento - X            | 0.6                     | Si     | n.a.  | n.a.          |
| Vento -Y             | 0.6                     | Si     | n.a.  | n.a.          |

**Combinazione n° 25: AD vento Y**

Tipo: SLE Rara  
 Spettro: n.a.  
 Fattore sisma: n.a.  
 Angolo ingresso sisma [°]: n.a.  
 Kmod: 1.00

| Condizione di carico | Fattore di combinazione | Attiva | Massa | Fattore massa |
|----------------------|-------------------------|--------|-------|---------------|
| Peso Proprio         | 1                       | Si     | n.a.  | n.a.          |
| QP Solai             | 1                       | Si     | n.a.  | n.a.          |
| QFissi Solai         | 1                       | Si     | n.a.  | n.a.          |
| QV Solai             | 1                       | No     | n.a.  | n.a.          |
| QV SolaiPsi0         | 1                       | Si     | n.a.  | n.a.          |
| QV SolaiPsi1         | 1                       | No     | n.a.  | n.a.          |
| QV SolaiPsi2         | 1                       | No     | n.a.  | n.a.          |
| Tamponamento         | 1                       | Si     | n.a.  | n.a.          |
| Neve                 | 0.5                     | Si     | n.a.  | n.a.          |
| Vento X              | 0.6                     | Si     | n.a.  | n.a.          |
| Vento Y              | 1                       | Si     | n.a.  | n.a.          |
| Carichi termici      | 0.6                     | Si     | n.a.  | n.a.          |
| Spinta terreno       | 1                       | Si     | n.a.  | n.a.          |
| Vento - X            | 0.6                     | Si     | n.a.  | n.a.          |
| Vento -Y             | 0.6                     | Si     | n.a.  | n.a.          |

**Combinazione n° 26: AD Vento - X**

Tipo: SLE Rara

Spettro: n.a.

Fattore sisma: n.a.

Angolo ingresso sisma [°]: n.a.

Kmod: 1.00

| Condizione di carico | Fattore di combinazione | Attiva | Massa | Fattore massa |
|----------------------|-------------------------|--------|-------|---------------|
| Peso Proprio         | 1                       | Si     | n.a.  | n.a.          |
| QP Solai             | 1                       | Si     | n.a.  | n.a.          |
| QFissi Solai         | 1                       | Si     | n.a.  | n.a.          |
| QV Solai             | 1                       | No     | n.a.  | n.a.          |
| QV SolaiPsi0         | 1                       | Si     | n.a.  | n.a.          |
| QV SolaiPsi1         | 1                       | No     | n.a.  | n.a.          |
| QV SolaiPsi2         | 1                       | No     | n.a.  | n.a.          |
| Tamponamento         | 1                       | Si     | n.a.  | n.a.          |
| Neve                 | 0.5                     | Si     | n.a.  | n.a.          |
| Vento X              | 0.6                     | Si     | n.a.  | n.a.          |
| Vento Y              | 1                       | Si     | n.a.  | n.a.          |
| Carichi termici      | 0.6                     | Si     | n.a.  | n.a.          |
| Spinta terreno       | 1                       | Si     | n.a.  | n.a.          |
| Vento - X            | 1                       | Si     | n.a.  | n.a.          |
| Vento -Y             | 0.6                     | Si     | n.a.  | n.a.          |

**Combinazione n° 27: AD Vento - X**

Tipo: SLE Rara

Spettro: n.a.

Fattore sisma: n.a.

Angolo ingresso sisma [°]: n.a.

Kmod: 1.00

| Condizione di carico | Fattore di combinazione | Attiva | Massa | Fattore massa |
|----------------------|-------------------------|--------|-------|---------------|
| Peso Proprio         | 1                       | Si     | n.a.  | n.a.          |
| QP Solai             | 1                       | Si     | n.a.  | n.a.          |
| QFissi Solai         | 1                       | Si     | n.a.  | n.a.          |
| QV Solai             | 1                       | No     | n.a.  | n.a.          |
| QV SolaiPsi0         | 1                       | Si     | n.a.  | n.a.          |
| QV SolaiPsi1         | 1                       | No     | n.a.  | n.a.          |
| QV SolaiPsi2         | 1                       | No     | n.a.  | n.a.          |
| Tamponamento         | 1                       | Si     | n.a.  | n.a.          |
| Neve                 | 0.5                     | Si     | n.a.  | n.a.          |
| Vento X              | 0.5                     | Si     | n.a.  | n.a.          |
| Vento Y              | 0.6                     | Si     | n.a.  | n.a.          |
| Carichi termici      | 0.6                     | Si     | n.a.  | n.a.          |
| Spinta terreno       | 1                       | Si     | n.a.  | n.a.          |
| Vento - X            | 0.6                     | Si     | n.a.  | n.a.          |
| Vento -Y             | 1                       | Si     | n.a.  | n.a.          |

**Combinazione n° 28: AD Termici**

Tipo: SLE Rara

Spettro: n.a.

Fattore sisma: n.a.

Angolo ingresso sisma [°]: n.a.

Kmod: 1.00

| Condizione di carico | Fattore di combinazione | Attiva | Massa | Fattore massa |
|----------------------|-------------------------|--------|-------|---------------|
|----------------------|-------------------------|--------|-------|---------------|

| Condizione di carico | Fattore di combinazione | Attiva | Massa | Fattore massa |
|----------------------|-------------------------|--------|-------|---------------|
| Peso Proprio         | 1                       | Si     | n.a.  | n.a.          |
| QP Solai             | 1                       | Si     | n.a.  | n.a.          |
| QFissi Solai         | 1                       | Si     | n.a.  | n.a.          |
| QV Solai             | 1                       | No     | n.a.  | n.a.          |
| QV SolaiPsi0         | 1                       | Si     | n.a.  | n.a.          |
| QV SolaiPsi1         | 1                       | No     | n.a.  | n.a.          |
| QV SolaiPsi2         | 1                       | No     | n.a.  | n.a.          |
| Tamponamento         | 1                       | Si     | n.a.  | n.a.          |
| Neve                 | 0.5                     | Si     | n.a.  | n.a.          |
| Vento X              | 0.6                     | Si     | n.a.  | n.a.          |
| Vento Y              | 1                       | No     | n.a.  | n.a.          |
| Carichi termici      | 1                       | Si     | n.a.  | n.a.          |
| Spinta terreno       | 1                       | Si     | n.a.  | n.a.          |
| Vento - X            | 1                       | No     | n.a.  | n.a.          |
| Vento -Y             | 1                       | No     | n.a.  | n.a.          |

**Combinazione n° 29: AD Termici**

Tipo: SLE Rara  
 Spettro: n.a.  
 Fattore sisma: n.a.  
 Angolo ingresso sisma [°]: n.a.  
 Kmod: 1.00

| Condizione di carico | Fattore di combinazione | Attiva | Massa | Fattore massa |
|----------------------|-------------------------|--------|-------|---------------|
| Peso Proprio         | 1                       | Si     | n.a.  | n.a.          |
| QP Solai             | 1                       | Si     | n.a.  | n.a.          |
| QFissi Solai         | 1                       | Si     | n.a.  | n.a.          |
| QV Solai             | 1                       | No     | n.a.  | n.a.          |
| QV SolaiPsi0         | 1                       | Si     | n.a.  | n.a.          |
| QV SolaiPsi1         | 1                       | No     | n.a.  | n.a.          |
| QV SolaiPsi2         | 1                       | No     | n.a.  | n.a.          |
| Tamponamento         | 1                       | Si     | n.a.  | n.a.          |
| Neve                 | 0.5                     | Si     | n.a.  | n.a.          |
| Vento X              | 1                       | No     | n.a.  | n.a.          |
| Vento Y              | 0.6                     | Si     | n.a.  | n.a.          |
| Carichi termici      | 1                       | Si     | n.a.  | n.a.          |
| Spinta terreno       | 1                       | Si     | n.a.  | n.a.          |
| Vento - X            | 1                       | No     | n.a.  | n.a.          |
| Vento -Y             | 1                       | No     | n.a.  | n.a.          |

**Combinazione n° 30: AD Termici**

Tipo: SLE Rara  
 Spettro: n.a.  
 Fattore sisma: n.a.  
 Angolo ingresso sisma [°]: n.a.  
 Kmod: 1.00

| Condizione di carico | Fattore di combinazione | Attiva | Massa | Fattore massa |
|----------------------|-------------------------|--------|-------|---------------|
| Peso Proprio         | 1                       | Si     | n.a.  | n.a.          |
| QP Solai             | 1                       | Si     | n.a.  | n.a.          |
| QFissi Solai         | 1                       | Si     | n.a.  | n.a.          |
| QV Solai             | 1                       | No     | n.a.  | n.a.          |
| QV SolaiPsi0         | 1                       | Si     | n.a.  | n.a.          |
| QV SolaiPsi1         | 1                       | No     | n.a.  | n.a.          |
| QV SolaiPsi2         | 1                       | No     | n.a.  | n.a.          |
| Tamponamento         | 1                       | Si     | n.a.  | n.a.          |
| Neve                 | 0.5                     | Si     | n.a.  | n.a.          |



| Condizione di carico | Fattore di combinazione | Attiva | Massa | Fattore massa |
|----------------------|-------------------------|--------|-------|---------------|
| Vento X              | 1                       | No     | n.a.  | n.a.          |
| Vento Y              | 0.6                     | Si     | n.a.  | n.a.          |
| Carichi termici      | 1                       | Si     | n.a.  | n.a.          |
| Spinta terreno       | 1                       | Si     | n.a.  | n.a.          |
| Vento - X            | 0.6                     | Si     | n.a.  | n.a.          |
| Vento -Y             | 1                       | No     | n.a.  | n.a.          |

**Combinazione n° 31: AD Termici**

Tipo: SLE Rara  
 Spettro: n.a.  
 Fattore sisma: n.a.  
 Angolo ingresso sisma [°]: n.a.  
 Kmod: 1.00

| Condizione di carico | Fattore di combinazione | Attiva | Massa | Fattore massa |
|----------------------|-------------------------|--------|-------|---------------|
| Peso Proprio         | 1                       | Si     | n.a.  | n.a.          |
| QP Solai             | 1                       | Si     | n.a.  | n.a.          |
| QFissi Solai         | 1                       | Si     | n.a.  | n.a.          |
| QV Solai             | 1                       | No     | n.a.  | n.a.          |
| QV SolaiPsi0         | 1                       | Si     | n.a.  | n.a.          |
| QV SolaiPsi1         | 1                       | No     | n.a.  | n.a.          |
| QV SolaiPsi2         | 1                       | No     | n.a.  | n.a.          |
| Tamponamento         | 1                       | Si     | n.a.  | n.a.          |
| Neve                 | 0.5                     | Si     | n.a.  | n.a.          |
| Vento X              | 1                       | No     | n.a.  | n.a.          |
| Vento Y              | 0.6                     | Si     | n.a.  | n.a.          |
| Carichi termici      | 1                       | Si     | n.a.  | n.a.          |
| Spinta terreno       | 1                       | Si     | n.a.  | n.a.          |
| Vento - X            | 1                       | No     | n.a.  | n.a.          |
| Vento -Y             | 0.6                     | Si     | n.a.  | n.a.          |

**Combinazione n° 32: AD QVSolai**

Tipo: SLE Freq.  
 Spettro: n.a.  
 Fattore sisma: n.a.  
 Angolo ingresso sisma [°]: n.a.  
 Kmod: 1.00

| Condizione di carico | Fattore di combinazione | Attiva | Massa | Fattore massa |
|----------------------|-------------------------|--------|-------|---------------|
| Peso Proprio         | 1                       | Si     | n.a.  | n.a.          |
| QP Solai             | 1                       | Si     | n.a.  | n.a.          |
| QFissi Solai         | 1                       | Si     | n.a.  | n.a.          |
| QV Solai             | 1                       | No     | n.a.  | n.a.          |
| QV SolaiPsi0         | 1                       | No     | n.a.  | n.a.          |
| QV SolaiPsi1         | 1                       | Si     | n.a.  | n.a.          |
| QV SolaiPsi2         | 1                       | No     | n.a.  | n.a.          |
| Tamponamento         | 1                       | Si     | n.a.  | n.a.          |
| Neve                 | 0.2                     | Si     | n.a.  | n.a.          |
| Vento X              | 0.2                     | Si     | n.a.  | n.a.          |
| Vento Y              | 1                       | No     | n.a.  | n.a.          |
| Carichi termici      | 0.5                     | Si     | n.a.  | n.a.          |
| Spinta terreno       | 1                       | Si     | n.a.  | n.a.          |
| Vento - X            | 1                       | No     | n.a.  | n.a.          |
| Vento -Y             | 1                       | No     | n.a.  | n.a.          |

**Combinazione n° 33: AD QVSolai**

Tipo: SLE Freq.  
 Spettro: n.a.  
 Fattore sisma: n.a.  
 Angolo ingresso sisma [°]: n.a.  
 Kmod: 1.00

| Condizione di carico | Fattore di combinazione | Attiva | Massa | Fattore massa |
|----------------------|-------------------------|--------|-------|---------------|
| Peso Proprio         | 1                       | Si     | n.a.  | n.a.          |
| QP Solai             | 1                       | Si     | n.a.  | n.a.          |
| QFissi Solai         | 1                       | Si     | n.a.  | n.a.          |
| QV Solai             | 1                       | No     | n.a.  | n.a.          |
| QV SolaiPsi0         | 1                       | No     | n.a.  | n.a.          |
| QV SolaiPsi1         | 1                       | Si     | n.a.  | n.a.          |
| QV SolaiPsi2         | 1                       | No     | n.a.  | n.a.          |
| Tamponamento         | 1                       | Si     | n.a.  | n.a.          |
| Neve                 | 0.2                     | Si     | n.a.  | n.a.          |
| Vento X              | 1                       | No     | n.a.  | n.a.          |
| Vento Y              | 0.2                     | Si     | n.a.  | n.a.          |
| Carichi termici      | 0.5                     | Si     | n.a.  | n.a.          |
| Spinta terreno       | 1                       | Si     | n.a.  | n.a.          |
| Vento - X            | 1                       | No     | n.a.  | n.a.          |
| Vento -Y             | 1                       | No     | n.a.  | n.a.          |

**Combinazione n° 34: AD QVSolai**

Tipo: SLE Freq.  
 Spettro: n.a.  
 Fattore sisma: n.a.  
 Angolo ingresso sisma [°]: n.a.  
 Kmod: 1.00

| Condizione di carico | Fattore di combinazione | Attiva | Massa | Fattore massa |
|----------------------|-------------------------|--------|-------|---------------|
| Peso Proprio         | 1                       | Si     | n.a.  | n.a.          |
| QP Solai             | 1                       | Si     | n.a.  | n.a.          |
| QFissi Solai         | 1                       | Si     | n.a.  | n.a.          |
| QV Solai             | 1                       | No     | n.a.  | n.a.          |
| QV SolaiPsi0         | 1                       | No     | n.a.  | n.a.          |
| QV SolaiPsi1         | 1                       | Si     | n.a.  | n.a.          |
| QV SolaiPsi2         | 1                       | No     | n.a.  | n.a.          |
| Tamponamento         | 1                       | Si     | n.a.  | n.a.          |
| Neve                 | 0.2                     | Si     | n.a.  | n.a.          |
| Vento X              | 1                       | No     | n.a.  | n.a.          |
| Vento Y              | 1                       | No     | n.a.  | n.a.          |
| Carichi termici      | 0.5                     | Si     | n.a.  | n.a.          |
| Spinta terreno       | 1                       | Si     | n.a.  | n.a.          |
| Vento - X            | 1                       | No     | n.a.  | n.a.          |
| Vento -Y             | 1                       | No     | n.a.  | n.a.          |

**Combinazione n° 35: AD QVSolai**

Tipo: SLE Freq.  
 Spettro: n.a.  
 Fattore sisma: n.a.  
 Angolo ingresso sisma [°]: n.a.  
 Kmod: 1.00

| Condizione di carico | Fattore di combinazione | Attiva | Massa | Fattore massa |
|----------------------|-------------------------|--------|-------|---------------|
| Peso Proprio         | 1                       | Si     | n.a.  | n.a.          |
| QP Solai             | 1                       | Si     | n.a.  | n.a.          |

| Condizione di carico | Fattore di combinazione | Attiva | Massa | Fattore massa |
|----------------------|-------------------------|--------|-------|---------------|
| QFissi Solai         | 1                       | Si     | n.a.  | n.a.          |
| QV Solai             | 1                       | No     | n.a.  | n.a.          |
| QV SolaiPsi0         | 1                       | No     | n.a.  | n.a.          |
| QV SolaiPsi1         | 1                       | Si     | n.a.  | n.a.          |
| QV SolaiPsi2         | 1                       | No     | n.a.  | n.a.          |
| Tamponamento         | 1                       | Si     | n.a.  | n.a.          |
| Neve                 | 0.2                     | Si     | n.a.  | n.a.          |
| Vento X              | 1                       | No     | n.a.  | n.a.          |
| Vento Y              | 1                       | No     | n.a.  | n.a.          |
| Carichi termici      | 0.5                     | Si     | n.a.  | n.a.          |
| Spinta terreno       | 1                       | Si     | n.a.  | n.a.          |
| Vento - X            | 1                       | No     | n.a.  | n.a.          |
| Vento -Y             | 1                       | No     | n.a.  | n.a.          |

**Combinazione n° 36: AD Neve**

Tipo: SLE Freq.  
 Spettro: n.a.  
 Fattore sisma: n.a.  
 Angolo ingresso sisma [°]: n.a.  
 Kmod: 1.00

| Condizione di carico | Fattore di combinazione | Attiva | Massa | Fattore massa |
|----------------------|-------------------------|--------|-------|---------------|
| Peso Proprio         | 1                       | Si     | n.a.  | n.a.          |
| QP Solai             | 1                       | Si     | n.a.  | n.a.          |
| QFissi Solai         | 1                       | Si     | n.a.  | n.a.          |
| QV Solai             | 1                       | No     | n.a.  | n.a.          |
| QV SolaiPsi0         | 1                       | No     | n.a.  | n.a.          |
| QV SolaiPsi1         | 1                       | No     | n.a.  | n.a.          |
| QV SolaiPsi2         | 1                       | Si     | n.a.  | n.a.          |
| Tamponamento         | 1                       | Si     | n.a.  | n.a.          |
| Neve                 | 0.5                     | Si     | n.a.  | n.a.          |
| Vento X              | 0.2                     | Si     | n.a.  | n.a.          |
| Vento Y              | 1                       | No     | n.a.  | n.a.          |
| Carichi termici      | 0.5                     | Si     | n.a.  | n.a.          |
| Spinta terreno       | 1                       | Si     | n.a.  | n.a.          |
| Vento - X            | 1                       | No     | n.a.  | n.a.          |
| Vento -Y             | 1                       | No     | n.a.  | n.a.          |

**Combinazione n° 37: AD Neve**

Tipo: SLE Freq.  
 Spettro: n.a.  
 Fattore sisma: n.a.  
 Angolo ingresso sisma [°]: n.a.  
 Kmod: 1.00

| Condizione di carico | Fattore di combinazione | Attiva | Massa | Fattore massa |
|----------------------|-------------------------|--------|-------|---------------|
| Peso Proprio         | 1                       | Si     | n.a.  | n.a.          |
| QP Solai             | 1                       | Si     | n.a.  | n.a.          |
| QFissi Solai         | 1                       | Si     | n.a.  | n.a.          |
| QV Solai             | 1                       | No     | n.a.  | n.a.          |
| QV SolaiPsi0         | 1                       | No     | n.a.  | n.a.          |
| QV SolaiPsi1         | 1                       | No     | n.a.  | n.a.          |
| QV SolaiPsi2         | 1                       | Si     | n.a.  | n.a.          |
| Tamponamento         | 1                       | Si     | n.a.  | n.a.          |
| Neve                 | 0.5                     | Si     | n.a.  | n.a.          |
| Vento X              | 1                       | No     | n.a.  | n.a.          |
| Vento Y              | 0.2                     | Si     | n.a.  | n.a.          |

| Condizione di carico | Fattore di combinazione | Attiva | Massa | Fattore massa |
|----------------------|-------------------------|--------|-------|---------------|
| Carichi termici      | 0.5                     | Si     | n.a.  | n.a.          |
| Spinta terreno       | 1                       | Si     | n.a.  | n.a.          |
| Vento - X            | 1                       | No     | n.a.  | n.a.          |
| Vento -Y             | 1                       | No     | n.a.  | n.a.          |

**Combinazione n° 38: AD Neve**

Tipo: SLE Freq.  
 Spettro: n.a.  
 Fattore sisma: n.a.  
 Angolo ingresso sisma [°]: n.a.  
 Kmod: 1.00

| Condizione di carico | Fattore di combinazione | Attiva | Massa | Fattore massa |
|----------------------|-------------------------|--------|-------|---------------|
| Peso Proprio         | 1                       | Si     | n.a.  | n.a.          |
| QP Solai             | 1                       | Si     | n.a.  | n.a.          |
| QFissi Solai         | 1                       | Si     | n.a.  | n.a.          |
| QV Solai             | 1                       | No     | n.a.  | n.a.          |
| QV SolaiPsi0         | 1                       | No     | n.a.  | n.a.          |
| QV SolaiPsi1         | 1                       | No     | n.a.  | n.a.          |
| QV SolaiPsi2         | 1                       | Si     | n.a.  | n.a.          |
| Tamponamento         | 1                       | Si     | n.a.  | n.a.          |
| Neve                 | 0.5                     | Si     | n.a.  | n.a.          |
| Vento X              | 1                       | No     | n.a.  | n.a.          |
| Vento Y              | 1                       | No     | n.a.  | n.a.          |
| Carichi termici      | 0.5                     | Si     | n.a.  | n.a.          |
| Spinta terreno       | 1                       | Si     | n.a.  | n.a.          |
| Vento - X            | 1                       | No     | n.a.  | n.a.          |
| Vento -Y             | 1                       | No     | n.a.  | n.a.          |

**Combinazione n° 39: AD Neve**

Tipo: SLE Freq.  
 Spettro: n.a.  
 Fattore sisma: n.a.  
 Angolo ingresso sisma [°]: n.a.  
 Kmod: 1.00

| Condizione di carico | Fattore di combinazione | Attiva | Massa | Fattore massa |
|----------------------|-------------------------|--------|-------|---------------|
| Peso Proprio         | 1                       | Si     | n.a.  | n.a.          |
| QP Solai             | 1                       | Si     | n.a.  | n.a.          |
| QFissi Solai         | 1                       | Si     | n.a.  | n.a.          |
| QV Solai             | 1                       | No     | n.a.  | n.a.          |
| QV SolaiPsi0         | 1                       | No     | n.a.  | n.a.          |
| QV SolaiPsi1         | 1                       | No     | n.a.  | n.a.          |
| QV SolaiPsi2         | 1                       | Si     | n.a.  | n.a.          |
| Tamponamento         | 1                       | Si     | n.a.  | n.a.          |
| Neve                 | 0.2                     | Si     | n.a.  | n.a.          |
| Vento X              | 1                       | No     | n.a.  | n.a.          |
| Vento Y              | 1                       | No     | n.a.  | n.a.          |
| Carichi termici      | 0.5                     | Si     | n.a.  | n.a.          |
| Spinta terreno       | 1                       | Si     | n.a.  | n.a.          |
| Vento - X            | 1                       | No     | n.a.  | n.a.          |
| Vento -Y             | 1                       | No     | n.a.  | n.a.          |

**Combinazione n° 40: AD VentoX**

Tipo: SLE Freq.  
 Spettro: n.a.

Fattore sisma: n.a.  
 Angolo ingresso sisma [°]: n.a.  
 Kmod: 1.00

| Condizione di carico | Fattore di combinazione | Attiva | Massa | Fattore massa |
|----------------------|-------------------------|--------|-------|---------------|
| Peso Proprio         | 1                       | Si     | n.a.  | n.a.          |
| QP Solai             | 1                       | Si     | n.a.  | n.a.          |
| QFissi Solai         | 1                       | Si     | n.a.  | n.a.          |
| QV Solai             | 1                       | No     | n.a.  | n.a.          |
| QV SolaiPsi0         | 1                       | No     | n.a.  | n.a.          |
| QV SolaiPsi1         | 1                       | No     | n.a.  | n.a.          |
| QV SolaiPsi2         | 1                       | Si     | n.a.  | n.a.          |
| Tamponamento         | 1                       | Si     | n.a.  | n.a.          |
| Neve                 | 1                       | No     | n.a.  | n.a.          |
| Vento X              | 0.5                     | Si     | n.a.  | n.a.          |
| Vento Y              | 1                       | No     | n.a.  | n.a.          |
| Carichi termici      | 0.5                     | Si     | n.a.  | n.a.          |
| Spinta terreno       | 1                       | Si     | n.a.  | n.a.          |
| Vento - X            | 1                       | No     | n.a.  | n.a.          |
| Vento -Y             | 1                       | No     | n.a.  | n.a.          |

**Combinazione n° 41: AD Vento Y**

Tipo: SLE Freq.  
 Spettro: n.a.  
 Fattore sisma: n.a.  
 Angolo ingresso sisma [°]: n.a.  
 Kmod: 1.00

| Condizione di carico | Fattore di combinazione | Attiva | Massa | Fattore massa |
|----------------------|-------------------------|--------|-------|---------------|
| Peso Proprio         | 1                       | Si     | n.a.  | n.a.          |
| QP Solai             | 1                       | Si     | n.a.  | n.a.          |
| QFissi Solai         | 1                       | Si     | n.a.  | n.a.          |
| QV Solai             | 1                       | No     | n.a.  | n.a.          |
| QV SolaiPsi0         | 1                       | No     | n.a.  | n.a.          |
| QV SolaiPsi1         | 1                       | No     | n.a.  | n.a.          |
| QV SolaiPsi2         | 1                       | Si     | n.a.  | n.a.          |
| Tamponamento         | 1                       | Si     | n.a.  | n.a.          |
| Neve                 | 1                       | No     | n.a.  | n.a.          |
| Vento X              | 1                       | No     | n.a.  | n.a.          |
| Vento Y              | 0.5                     | Si     | n.a.  | n.a.          |
| Carichi termici      | 0.5                     | Si     | n.a.  | n.a.          |
| Spinta terreno       | 1                       | Si     | n.a.  | n.a.          |
| Vento - X            | 1                       | No     | n.a.  | n.a.          |
| Vento -Y             | 1                       | No     | n.a.  | n.a.          |

**Combinazione n° 42: AD Vento - X**

Tipo: SLE Freq.  
 Spettro: n.a.  
 Fattore sisma: n.a.  
 Angolo ingresso sisma [°]: n.a.  
 Kmod: 1.00

| Condizione di carico | Fattore di combinazione | Attiva | Massa | Fattore massa |
|----------------------|-------------------------|--------|-------|---------------|
| Peso Proprio         | 1                       | Si     | n.a.  | n.a.          |
| QP Solai             | 1                       | Si     | n.a.  | n.a.          |
| QFissi Solai         | 1                       | Si     | n.a.  | n.a.          |
| QV Solai             | 1                       | No     | n.a.  | n.a.          |

| Condizione di carico | Fattore di combinazione | Attiva | Massa | Fattore massa |
|----------------------|-------------------------|--------|-------|---------------|
| QV SolaiPsi0         | 1                       | No     | n.a.  | n.a.          |
| QV SolaiPsi1         | 1                       | No     | n.a.  | n.a.          |
| QV SolaiPsi2         | 1                       | Si     | n.a.  | n.a.          |
| Tamponamento         | 1                       | Si     | n.a.  | n.a.          |
| Neve                 | 1                       | No     | n.a.  | n.a.          |
| Vento X              | 0.2                     | Si     | n.a.  | n.a.          |
| Vento Y              | 1                       | No     | n.a.  | n.a.          |
| Carichi termici      | 0.5                     | Si     | n.a.  | n.a.          |
| Spinta terreno       | 1                       | Si     | n.a.  | n.a.          |
| Vento - X            | 0.5                     | Si     | n.a.  | n.a.          |
| Vento -Y             | 1                       | No     | n.a.  | n.a.          |

**Combinazione n° 43: AD Vento - Y**

Tipo: SLE Freq.  
 Spettro: n.a.  
 Fattore sisma: n.a.  
 Angolo ingresso sisma [°]: n.a.  
 Kmod: 1.00

| Condizione di carico | Fattore di combinazione | Attiva | Massa | Fattore massa |
|----------------------|-------------------------|--------|-------|---------------|
| Peso Proprio         | 1                       | Si     | n.a.  | n.a.          |
| QP Solai             | 1                       | Si     | n.a.  | n.a.          |
| QFissi Solai         | 1                       | Si     | n.a.  | n.a.          |
| QV Solai             | 1                       | No     | n.a.  | n.a.          |
| QV SolaiPsi0         | 1                       | No     | n.a.  | n.a.          |
| QV SolaiPsi1         | 1                       | No     | n.a.  | n.a.          |
| QV SolaiPsi2         | 1                       | Si     | n.a.  | n.a.          |
| Tamponamento         | 1                       | Si     | n.a.  | n.a.          |
| Neve                 | 1                       | No     | n.a.  | n.a.          |
| Vento X              | 0.2                     | Si     | n.a.  | n.a.          |
| Vento Y              | 1                       | No     | n.a.  | n.a.          |
| Carichi termici      | 0.5                     | Si     | n.a.  | n.a.          |
| Spinta terreno       | 1                       | Si     | n.a.  | n.a.          |
| Vento - X            | 1                       | No     | n.a.  | n.a.          |
| Vento -Y             | 0.5                     | Si     | n.a.  | n.a.          |

**Combinazione n° 44: AD Termici**

Tipo: SLE Freq.  
 Spettro: n.a.  
 Fattore sisma: n.a.  
 Angolo ingresso sisma [°]: n.a.  
 Kmod: 1.00

| Condizione di carico | Fattore di combinazione | Attiva | Massa | Fattore massa |
|----------------------|-------------------------|--------|-------|---------------|
| Peso Proprio         | 1                       | Si     | n.a.  | n.a.          |
| QP Solai             | 1                       | Si     | n.a.  | n.a.          |
| QFissi Solai         | 1                       | Si     | n.a.  | n.a.          |
| QV Solai             | 1                       | No     | n.a.  | n.a.          |
| QV SolaiPsi0         | 1                       | No     | n.a.  | n.a.          |
| QV SolaiPsi1         | 1                       | No     | n.a.  | n.a.          |
| QV SolaiPsi2         | 1                       | Si     | n.a.  | n.a.          |
| Tamponamento         | 1                       | Si     | n.a.  | n.a.          |
| Neve                 | 1                       | No     | n.a.  | n.a.          |
| Vento X              | 0.2                     | Si     | n.a.  | n.a.          |
| Vento Y              | 1                       | No     | n.a.  | n.a.          |
| Carichi termici      | 0.6                     | Si     | n.a.  | n.a.          |
| Spinta terreno       | 1                       | Si     | n.a.  | n.a.          |

| Condizione di carico | Fattore di combinazione | Attiva | Massa | Fattore massa |
|----------------------|-------------------------|--------|-------|---------------|
| Vento - X            | 1                       | No     | n.a.  | n.a.          |
| Vento -Y             | 1                       | No     | n.a.  | n.a.          |

**Combinazione n° 45: AD Termici**

Tipo: SLE Freq.  
 Spettro: n.a.  
 Fattore sisma: n.a.  
 Angolo ingresso sisma [°]: n.a.  
 Kmod: 1.00

| Condizione di carico | Fattore di combinazione | Attiva | Massa | Fattore massa |
|----------------------|-------------------------|--------|-------|---------------|
| Peso Proprio         | 1                       | Si     | n.a.  | n.a.          |
| QP Solai             | 1                       | Si     | n.a.  | n.a.          |
| QFissi Solai         | 1                       | Si     | n.a.  | n.a.          |
| QV Solai             | 1                       | No     | n.a.  | n.a.          |
| QV SolaiPsi0         | 1                       | No     | n.a.  | n.a.          |
| QV SolaiPsi1         | 1                       | No     | n.a.  | n.a.          |
| QV SolaiPsi2         | 1                       | Si     | n.a.  | n.a.          |
| Tamponamento         | 1                       | Si     | n.a.  | n.a.          |
| Neve                 | 1                       | No     | n.a.  | n.a.          |
| Vento X              | 1                       | No     | n.a.  | n.a.          |
| Vento Y              | 0.2                     | Si     | n.a.  | n.a.          |
| Carichi termici      | 0.6                     | Si     | n.a.  | n.a.          |
| Spinta terreno       | 1                       | Si     | n.a.  | n.a.          |
| Vento - X            | 1                       | No     | n.a.  | n.a.          |
| Vento -Y             | 1                       | No     | n.a.  | n.a.          |

**Combinazione n° 46: AD Termici**

Tipo: SLE Freq.  
 Spettro: n.a.  
 Fattore sisma: n.a.  
 Angolo ingresso sisma [°]: n.a.  
 Kmod: 1.00

| Condizione di carico | Fattore di combinazione | Attiva | Massa | Fattore massa |
|----------------------|-------------------------|--------|-------|---------------|
| Peso Proprio         | 1                       | Si     | n.a.  | n.a.          |
| QP Solai             | 1                       | Si     | n.a.  | n.a.          |
| QFissi Solai         | 1                       | Si     | n.a.  | n.a.          |
| QV Solai             | 1                       | No     | n.a.  | n.a.          |
| QV SolaiPsi0         | 1                       | No     | n.a.  | n.a.          |
| QV SolaiPsi1         | 1                       | No     | n.a.  | n.a.          |
| QV SolaiPsi2         | 1                       | Si     | n.a.  | n.a.          |
| Tamponamento         | 1                       | Si     | n.a.  | n.a.          |
| Neve                 | 1                       | No     | n.a.  | n.a.          |
| Vento X              | 1                       | No     | n.a.  | n.a.          |
| Vento Y              | 1                       | No     | n.a.  | n.a.          |
| Carichi termici      | 0.6                     | Si     | n.a.  | n.a.          |
| Spinta terreno       | 1                       | Si     | n.a.  | n.a.          |
| Vento - X            | 0.2                     | Si     | n.a.  | n.a.          |
| Vento -Y             | 1                       | No     | n.a.  | n.a.          |

**Combinazione n° 47: AD Termici**

Tipo: SLE Freq.  
 Spettro: n.a.  
 Fattore sisma: n.a.  
 Angolo ingresso sisma [°]: n.a.

Kmod: 1.00

| Condizione di carico | Fattore di combinazione | Attiva | Massa | Fattore massa |
|----------------------|-------------------------|--------|-------|---------------|
| Peso Proprio         | 1                       | Si     | n.a.  | n.a.          |
| QP Solai             | 1                       | Si     | n.a.  | n.a.          |
| QFissi Solai         | 1                       | Si     | n.a.  | n.a.          |
| QV Solai             | 1                       | No     | n.a.  | n.a.          |
| QV SolaiPsi0         | 1                       | No     | n.a.  | n.a.          |
| QV SolaiPsi1         | 1                       | No     | n.a.  | n.a.          |
| QV SolaiPsi2         | 1                       | Si     | n.a.  | n.a.          |
| Tamponamento         | 1                       | Si     | n.a.  | n.a.          |
| Neve                 | 1                       | No     | n.a.  | n.a.          |
| Vento X              | 1                       | No     | n.a.  | n.a.          |
| Vento Y              | 1                       | No     | n.a.  | n.a.          |
| Carichi termici      | 0.6                     | Si     | n.a.  | n.a.          |
| Spinta terreno       | 1                       | Si     | n.a.  | n.a.          |
| Vento - X            | 1                       | No     | n.a.  | n.a.          |
| Vento -Y             | 0.2                     | Si     | n.a.  | n.a.          |

**Combinazione n° 48: Quasi P1**  
 Tipo: SLE Q.Perm.  
 Spettro: n.a.  
 Fattore sisma: n.a.  
 Angolo ingresso sisma [°]: n.a.  
 Kmod: 1.00

| Condizione di carico | Fattore di combinazione | Attiva | Massa | Fattore massa |
|----------------------|-------------------------|--------|-------|---------------|
| Peso Proprio         | 1                       | Si     | n.a.  | n.a.          |
| QP Solai             | 1                       | Si     | n.a.  | n.a.          |
| QFissi Solai         | 1                       | Si     | n.a.  | n.a.          |
| QV Solai             | 1                       | No     | n.a.  | n.a.          |
| QV SolaiPsi0         | 1                       | No     | n.a.  | n.a.          |
| QV SolaiPsi1         | 1                       | No     | n.a.  | n.a.          |
| QV SolaiPsi2         | 1                       | Si     | n.a.  | n.a.          |
| Tamponamento         | 1                       | Si     | n.a.  | n.a.          |
| Neve                 | 1                       | No     | n.a.  | n.a.          |
| Vento X              | 1                       | No     | n.a.  | n.a.          |
| Vento Y              | 1                       | No     | n.a.  | n.a.          |
| Carichi termici      | 1                       | No     | n.a.  | n.a.          |
| Spinta terreno       | 1                       | Si     | n.a.  | n.a.          |
| Vento - X            | 1                       | No     | n.a.  | n.a.          |
| Vento -Y             | 1                       | No     | n.a.  | n.a.          |

**Combinazione n° 49: SISMAX\_SLD**  
 Tipo: Modale SLE  
 Spettro: SpettroNT\_ 2018(q=1.5)  
 Fattore sisma: 1.00  
 Angolo ingresso sisma [°]: 0  
 Kmod: 1.00

| Condizione di carico | Fattore di combinazione | Attiva | Massa | Fattore massa |
|----------------------|-------------------------|--------|-------|---------------|
| Peso Proprio         | 1                       | Si     | Si    | 1             |
| QP Solai             | 1                       | Si     | Si    | 1             |
| QFissi Solai         | 1                       | Si     | Si    | 1             |
| QV Solai             | 1                       | No     | No    | 1             |
| QV SolaiPsi0         | 1                       | No     | No    | 1             |
| QV SolaiPsi1         | 1                       | No     | No    | 1             |



| Condizione di carico | Fattore di combinazione | Attiva | Massa | Fattore massa |
|----------------------|-------------------------|--------|-------|---------------|
| QV SolaiPsi2         | 1                       | Si     | Si    | 1             |
| Tamponamento         | 1                       | Si     | Si    | 1             |
| Neve                 | 1                       | No     | No    | 1             |
| Vento X              | 1                       | No     | No    | 1             |
| Vento Y              | 1                       | No     | No    | 1             |
| Carichi termici      | 1                       | No     | No    | 1             |
| Spinta terreno       | 1                       | Si     | No    | 1             |
| Vento - X            | 1                       | No     | No    | 1             |
| Vento -Y             | 1                       | No     | No    | 1             |

**Combinazione n° 50: Combinazione**

Tipo: STR+GEO

Spettro: n.a.

Fattore sisma: n.a.

Angolo ingresso sisma [°]: n.a.

Kmod: 1.00

| Condizione di carico | Fattore di combinazione | Attiva | Massa | Fattore massa |
|----------------------|-------------------------|--------|-------|---------------|
| Peso Proprio         | 1                       | No     | n.a.  | n.a.          |
| QP Solai             | 1                       | No     | n.a.  | n.a.          |
| QFissi Solai         | 1                       | No     | n.a.  | n.a.          |
| QV Solai             | 1                       | No     | n.a.  | n.a.          |
| QV SolaiPsi0         | 1                       | No     | n.a.  | n.a.          |
| QV SolaiPsi1         | 1                       | No     | n.a.  | n.a.          |
| QV SolaiPsi2         | 1                       | No     | n.a.  | n.a.          |
| Tamponamento         | 1                       | No     | n.a.  | n.a.          |
| Neve                 | 1                       | No     | n.a.  | n.a.          |
| Vento X              | 1                       | No     | n.a.  | n.a.          |
| Vento Y              | 1                       | No     | n.a.  | n.a.          |
| Carichi termici      | 1                       | No     | n.a.  | n.a.          |
| Spinta terreno       | 1                       | No     | n.a.  | n.a.          |
| Vento - X            | 1                       | No     | n.a.  | n.a.          |
| Vento -Y             | 1                       | No     | n.a.  | n.a.          |

**Combinazione n° 51: INCENDIO REI 60**

Tipo: Eccez. Incendio

Spettro: n.a.

Fattore sisma: n.a.

Angolo ingresso sisma [°]: n.a.

Kmod: 1.00

| Condizione di carico | Fattore di combinazione | Attiva | Massa | Fattore massa |
|----------------------|-------------------------|--------|-------|---------------|
| Peso Proprio         | 1                       | Si     | n.a.  | n.a.          |
| QP Solai             | 1                       | Si     | n.a.  | n.a.          |
| QFissi Solai         | 1                       | Si     | n.a.  | n.a.          |
| QV Solai             | 1                       | No     | n.a.  | n.a.          |
| QV SolaiPsi0         | 1                       | No     | n.a.  | n.a.          |
| QV SolaiPsi1         | 1                       | No     | n.a.  | n.a.          |
| QV SolaiPsi2         | 1                       | Si     | n.a.  | n.a.          |
| Tamponamento         | 1                       | Si     | n.a.  | n.a.          |
| Neve                 | 1                       | No     | n.a.  | n.a.          |
| Vento X              | 1                       | No     | n.a.  | n.a.          |
| Vento Y              | 1                       | No     | n.a.  | n.a.          |
| Carichi termici      | 1                       | Si     | n.a.  | n.a.          |
| Spinta terreno       | 1                       | Si     | n.a.  | n.a.          |
| Vento - X            | 1                       | No     | n.a.  | n.a.          |
| Vento -Y             | 1                       | No     | n.a.  | n.a.          |

## Codice di calcolo impiegato

|                            |   |
|----------------------------|---|
| Autori:                    | dott. ing. Dario PICA<br>prof. ing. Paolo BISEGNA<br>dott. ing. Donato Sista  |
| Produzione e distribuzione | <b>SOFT.LAB srl</b><br><b>via Borgo II - 82030 PONTE (BN)</b><br>tel. ++39 (824) 874392<br>fax ++39 (824) 874431<br>internet: <a href="http://www.soft.lab.it">http://www.soft.lab.it</a><br>e.mail: <a href="mailto:info@soft.lab.it">info@soft.lab.it</a> |
| Sigla:                     | <b>IperSpaceBIM 4.0.1</b>   |
| Licenza n.                 | <b>Concesso in licenza a POPOLIZIO ANTONIO codice utente C01818</b>   |

Il modello di calcolo assunto è di tipo spaziale e l'analisi condotta è una Analisi Elastica Lineare.

Il modello di calcolo è definito dalla posizione dei nodi collegati da elementi di tipo Beam o elementi di tipo shell, a comportamento sia flessionale che membranale; l'elemento finito shell utilizzato è anche in grado di esprimere una rigidezza rotazionale in direzione ortogonale al suo piano.

L'analisi sismica utilizzata è l'analisi modale con Combinazione Quadratica Completa degli effetti del sisma. Il modello è stato analizzato sia per le combinazioni dei carichi verticali sia per le combinazioni di carico verticale e sisma. Un particolare chiarimento richiede la definizione delle masse nell'analisi sismica.

Pur avendo considerato il modello con impalcati rigidi non si rende necessario calcolare il modello con la metodologia del **MASTER-SLAVE**, in quanto gli impalcati rigidi sono stati modellati con elementi di tipo shell a comportamento membranale in corrispondenza dei campi di solaio. Per ottenere tale modellazione il programma inserisce in automatico elementi di tipo shell a comportamento membranale in corrispondenza del campo di solaio intercluso tra una maglia di travi; la loro rigidezza membranale è sufficientemente alta da rendere il campo di solaio rigido nel proprio piano, ma tale da non condizionare in modo errato la matrice di rigidezza della struttura.

Qualora una maglia di travi non sia collegata da solai, lo shell non viene inserito rendendo tale campo libero di deformarsi con il solo vincolo dato dalle travi; la rigidezza flessionale delle travi è trascurabile rispetto a quella degli elementi che contornano il campo, per cui lo shell impone un vincolo orizzontale solo nel piano dell'impalcato tra i nodi collegati; pertanto, non è necessario definire preventivamente il centro di massa e momento d'inerzia delle masse poiché le masse sono trasferite direttamente nei nodi del modello (modello Lumped Mass) dal codice di calcolo.

Il metodo per calcolare le masse nei nodi può essere quello per aree di influenza, ma questo richiederebbe l'intervento diretto dell'operatore; il codice di calcolo utilizza una metodologia leggermente più raffinata per tener conto del fatto che su un elemento il carico portato non è uniforme. Il codice di calcolo, infatti, considera i carichi presenti sull'asta, che sono stati indicati come quelli che contribuiscono alla formazione della massa (tipicamente  $G + \psi_2 Q$ ) e calcola le reazioni di incastro perfetto verticali; tali reazioni divise per l'accelerazione di gravità  $g$  forniscono il contributo dell'elemento alla determinazione della massa del nodo e, sommando i contributi di tutti gli elementi che convergono nel nodo, si ottiene la massa complessiva.

Per gli elementi shell invece si utilizza il metodo delle aree di influenza: in ognuno dei 3 oppure 4 nodi che definiscono lo shell si assegna  $\frac{1}{3}$  oppure  $\frac{1}{4}$  del peso dell'elemento shell e  $\frac{1}{3}$  oppure  $\frac{1}{4}$  dell'eventuale carico variabile ridotto; sommando i contributi di tutti gli shell che convergono nel nodo si ottiene la massa da assegnare a quest'ultimo.

## Verifica degli elementi strutturali

Le verifiche di resistenza degli elementi sono condotte considerando le sollecitazioni di calcolo ed imponendo che le resistenze siano superiori alle azioni. Gli elementi sono verificati e/o progettati applicando la gerarchia delle resistenze, in particolare la gerarchia flessione-taglio per la verifica/progetto dell'elemento e la gerarchia pilastro-trave per la determinazione delle resistenze del pilastro.

I criteri di verifica sono una raccolta di parametri usati in fase di verifica secondo le esigenze strutturali; ognuno di essi contiene i dati per tutti gli elementi; è sottointeso che nella verifica di un elemento (es. trave) non sono presi in considerazione i dati relativi agli altri elementi (ad es. se si verifica una trave non sono presi in considerazione i dati relativi a pilastri e shell, così come se si esegue una verifica agli SLU non sono presi in considerazione i dati relativi agli SLE). Ogni criterio di verifica è identificato da un nome a scelta dell'operatore, per cui nei tabulati di verifica il nome del criterio ne identifica i parametri usati.

Riguardo alle verifiche agli SLU le resistenze sono determinate in base a quanto specificato dalla norma attraverso il modello plastico-incrudente o elastico-perfettamente plastico. La verifica consiste nel controllare che, assegnate le sollecitazioni, le deformazioni massime nel calcestruzzo e nell'acciaio siano inferiori a quelle ultime; ciò equivale ad affermare che nello spazio tridimensionale  $N$ ,  $M_y$ ,  $M_z$  il punto rappresentativo delle sollecitazioni è interno al dominio di resistenza della sezione.

Le verifiche agli SLE riguardano le verifiche di:

- deformabilità degli impalcati con  $\delta \leq 0.0050 \cdot h$ ;
- fessurazione;
- tensioni in esercizio.

## Validazione del calcolo

Di seguito si riportano alcuni dati significativi del calcolo in base ai quali si ritiene che il codice di calcolo è affidabile ed i risultati accettati dal progettista.

Confronto dei risultati ottenuti con l'elaborazione elettronica con risultati di semplici calcoli, anche di larga massima, eseguiti con metodi tradizionali.

Confronto tra il periodo fondamentale della struttura calcolato con la formula  $T_0 = C_1 \cdot H^{(3/4)}$

### Calcolo periodo fondamentale

Il calcolo del periodo fondamentale  $T_0 = C_1 \cdot H^{(3/4)}$  secondo la formula 7.3.5 fornisce  $T_0 = 0.1815$  (s) mentre dal calcolo abbiamo per le varie posizioni delle masse i seguenti valori:

$H$  è l'altezza della costruzione, in metri, dal piano di fondazione e  $C_1$  vale 0,085 per costruzioni con struttura a telaio in acciaio, 0,075 per costruzioni con struttura a telaio in calcestruzzo armato e 0,050 per costruzioni con qualsiasi altro tipo di struttura

| Pos. Masse | T(s)   |
|------------|--------|
| 1          | 0.1827 |
| 2          | 0.1805 |
| 3          | 0.1798 |
| 4          | 0.1804 |

**Si può notare che i risultati sono dello stesso ordine di grandezza.**

Inoltre i risultati ottenuti dall'Analisi quali sollecitazioni, tensioni, deformazioni, spostamenti e reazioni vincolari hanno permesso un immediato controllo con i risultati ottenuti mediante schemi semplificati di cui è nota la soluzione in forma chiusa nell'ambito della Scienza delle Costruzioni.

**Da quanto sopra riportato si può concludere che il modello di calcolo è stato correttamente impostato e che le calcolazioni effettuate con l'ausilio dell'elaboratore elettronico sono del tutto attendibili.**

## Taglianti di piano

Scenario di calcolo: **Set\_NT\_SLV\_SLD\_A2\_STR/GEO\_2018**

I taglianti sono dati per combinazioni di calcolo C-S-Pm con  $C = \text{Combinazione}(1,2,...)$   $S = \text{Sisma}(I,II)$   $Pm = \text{posizione masse}(1,2,...)$ . Le azioni, complessive, sono riferite al sistema di riferimento globale.

$\Theta = F_z \cdot dr / (F_h \cdot H)$  con:

$F_z$  Forza verticale

$dr$  Spostamento medio del piano rispetto al piano inferiore

$F_h$  Tagliante

$H$  Altezza del piano

$dx$  spostamento medio di piano in direzione X

$dy$  spostamento medio di piano in direzione Y

$dr = ((dxs-dxi)^2 + (dys-dyi)^2)^{0.5}$   $s = \text{impalcato superiore}$   $i = \text{impalcato inferiore}$

Nel caso di combinazioni sismiche l'aliquota dovuta al sisma di  $dx$  e  $dy$  è valutata secondo le indicazioni in 7.3.3,

moltiplicando lo spostamento per  $\mu d$

**Combinazione: 16-I-1 (SISMAX\_SLV)**

| Piano | Fx<br>kg | Fy<br>kg | Fz<br>kg | dx<br>mm | dy<br>mm | $\Theta$ |
|-------|----------|----------|----------|----------|----------|----------|
| 0     | -85954   | 11240    | 323286   | 0.00     | 0.00     | --       |
| 1     | 87638    | -13299   | -254140  | 0.01     | -0.00    | 0.000006 |

| Piano | FxPil/Isol.<br>kg | FyPil/Isol.<br>kg | FxPar<br>kg | FyPar<br>kg | FxShell<br>kg | FyShell<br>kg | FxTot<br>kg | FyTot<br>kg |
|-------|-------------------|-------------------|-------------|-------------|---------------|---------------|-------------|-------------|
| 0     | -89513            | 13726             | 0           | 0           | 3559          | -2486         | -85954      | 11240       |
| 1     | 89513             | -13726            | 0           | 0           | -1875         | 427           | 87638       | -13299      |

Percentuali assorbite in direzione X

| Piano | %Pil/Isol. FX | %Par. FX | %Shell. FX |
|-------|---------------|----------|------------|
| 0     | 96.18         | 0.00     | 3.82       |
| 1     | 97.95         | 0.00     | 2.05       |

Percentuali assorbite in direzione Y

| Piano | %Pil/Isol. FY | %Par. FY | %Shell. FY |
|-------|---------------|----------|------------|
| 0     | 84.67         | 0.00     | 15.33      |
| 1     | 96.98         | 0.00     | 3.02       |

**Combinazione: 17-I-1 (SISMAY\_SLV)**

| Piano | Fx<br>kg | Fy<br>kg | Fz<br>kg | dx<br>mm | dy<br>mm | $\Theta$ |
|-------|----------|----------|----------|----------|----------|----------|
| 0     | -2343    | -68067   | 320960   | 0.00     | 0.00     | --       |
| 1     | 2052     | 66500    | -251715  | 0.00     | 0.00     | 0.000004 |

| Piano | FxPil/Isol.<br>kg | FyPil/Isol.<br>kg | FxPar<br>kg | FyPar<br>kg | FxShell<br>kg | FyShell<br>kg | FxTot<br>kg | FyTot<br>kg |
|-------|-------------------|-------------------|-------------|-------------|---------------|---------------|-------------|-------------|
| 0     | -2740             | -78340            | 0           | 0           | 398           | 10273         | -2343       | -68067      |
| 1     | 2740              | 78340             | 0           | 0           | -688          | -11840        | 2052        | 66500       |

Percentuali assorbite in direzione X

| Piano | %Pil/Isol. FX | %Par. FX | %Shell. FX |
|-------|---------------|----------|------------|
| 0     | 87.33         | 0.00     | 12.67      |
| 1     | 79.93         | 0.00     | 20.07      |

Percentuali assorbite in direzione Y

| Piano | %Pil/Isol. FY | %Par. FY | %Shell. FY |
|-------|---------------|----------|------------|
| 0     | 88.41         | 0.00     | 11.59      |
| 1     | 86.87         | 0.00     | 13.13      |

**Combinazione: 49-I-1 (SISMAX\_SLD)**

| Piano | Fx<br>kg | Fy<br>kg | Fz<br>kg | dx<br>mm | dy<br>mm | $\Theta$ |
|-------|----------|----------|----------|----------|----------|----------|
| 0     | -34403   | 4490     | 322355   | 0.00     | -0.00    | --       |
| 1     | 35077    | -5317    | -253141  | 0.00     | -0.00    | 0.000006 |

| Piano | FxPil/Isol.<br>kg | FyPil/Isol.<br>kg | FxPar<br>kg | FyPar<br>kg | FxShell<br>kg | FyShell<br>kg | FxTot<br>kg | FyTot<br>kg |
|-------|-------------------|-------------------|-------------|-------------|---------------|---------------|-------------|-------------|
| 0     | -35906            | 5567              | 0           | 0           | 1503          | -1077         | -34403      | 4490        |
| 1     | 35906             | -5567             | 0           | 0           | -829          | 250           | 35077       | -5317       |

Percentuali assorbite in direzione X

| Piano | %Pil/Isol. FX | %Par. FX | %Shell. FX |
|-------|---------------|----------|------------|
| 0     | 95.98         | 0.00     | 4.02       |
| 1     | 97.74         | 0.00     | 2.26       |

Percentuali assorbite in direzione Y

| Piano | %Pil/Isol. FY | %Par. FY | %Shell. FY |
|-------|---------------|----------|------------|
| 0     | 83.79         | 0.00     | 16.21      |
| 1     | 95.70         | 0.00     | 4.30       |

Valutando numericamente i parametri sopra riportati. Ad esempio valutando a mano il peso complessivo della struttura è possibile determinare la massa sismica moltiplicandola per il valore dello spettro corrispondente al periodo fondamentale si dovrebbe trovare un tagliante vicino a quello di calcolo, analogamente moltiplicando i vari pesi per i relativi coefficienti di combinazione si dovrebbe trovare un valore pressoché uguale alle reazioni verticali totali (reazioni dei nodi + reazioni del terreno).

## Informazioni dell'elaborazione

Il calcolo automatico è stato eseguito su un elaboratore con le seguenti caratteristiche:

|                                   |  |
|-----------------------------------|--|
| Tipo:                             | GenuineIntel - Intel(R) Core(TM) i7-7700HQ CPU @ 2.80GHz |
| Capacità di memoria:              | 16268 MB   |
| Unità di memoria di massa:        | Disco C 236.52 GB  |
| Unità periferiche:                |  |
| Sistema operativo e sua versione: | Windows 10 (Build :19044)                                |

La valutazione della correttezza dei dati in ingresso e dell'accuratezza dei risultati è stata effettuata sia mediante le visualizzazioni grafiche del post processore, sia mediante il controllo dei tabulati numerici. La verifica che la soluzione ottenuta non sia viziata da errori di tipo numerico, legati all'algoritmo risolutivo e alle caratteristiche dell'elaboratore, è stata effettuata considerando che il numero di cifre significative utilizzate nei procedimenti numerici è 16, e che all'interno della matrice di rigidezza il rapporto tra il pivot massimo e minimo è: 5.566238e+03. Tale valore è accettabile quando risulta minore di 10 elevato al numero di cifre significative. Nel caso dell'elaborazione in oggetto si ha:

$$\text{Max/Min}=5.566238\text{e}+03<1.000000\text{e}+16$$

Si riporta la tabella relativa alle statistiche sulla matrice di rigidezza

## Risultati Analisi Dinamica - Statistiche matrice di rigidezza

Scenario di calcolo: **Set\_NT\_SLV\_SLD\_A2\_STR/GEO\_2018**

|                         |              |
|-------------------------|--------------|
| Minimo della diagonale  | 2.003748e+06 |
| Massimo della diagonale | 1.115334e+10 |
| Rapporto Max/Min        | 5.566238e+03 |
| Media della diagonale   | 1.042120e+09 |
| Densità                 | 5.973894e+00 |

**Pertanto i risultati si ritengono accettabili per quanto riguarda la correttezza del calcolo automatico.**

Il Progettista

Dott. Ing. Paolo MANCINI